

FUNDERING AF TILBYGNING AF STRØYBERGS PALÆ



P2 PROJEKT - MODELLERNES VIRKELIGHED
GRUPPE B149
BYGGERI & ANLÆG
AALBORG UNIVERSITET
D. 27. MAJ 2015



AALBORG UNIVERSITET
STUDENTERRAPPORT

Første Studieår v/ Det Teknisk-Naturvidenskabelige Fakultet
Byggeri og Anlæg
Strandvejen 12-14
9000 Aalborg
<http://www.tnb.aau.dk>

Titel:

Projekt:

P2-projekt: Modellernes virkelighed

Projektperiode:

Februar 2015 - Maj 2015

Projektgruppe:

B149

Deltagere:

Jacob Scharling Jørgensen
Karoline Vestergaard Hansen
Katrine Nørgaard Reberholt
Marc Lund Nielsen
Michael Elgaard Mortensen
Morten Rask Jensen
Nikolaj Skov Gravesen

Vejledere:

Gitte Lyng Grønbech
Johan Clausen
Katrine Rabjerg Meltofte

Synopsis:

Dette P2-projekt omhandler den ene tilbygning af Strøybergs Palæ.

Strøybergs Palæ ligger placeret ved havnen i Aalborg og er placeret indenfor en fremlagt vækstakse. Bygningen skal laves henfør lokalplan 1-1-107. Projektet beskriver tilbygningen ud fra to perspektiver; en kontekstuel del, hvor der ligges fokus på Aalborgs udvikling gennem tiden, og dens nuværende og planlagte udvikling, heriblandt den fremlagte vækstakse. Der vil blive redegjort for disse og diskutert om den planlagte udvikling overhovedet er realistisk. Den tekniske del vil have fokus på dimensioneringen af tilbygningen og dens fundamentet. Der vil blive redegjort for Aalborgs geologi og forskellige jordarters udseende og styrke. Udfra dette vil der blive angivet en fundamenttype, og udregnet størrelsen af det, så fundamentet kan holde til dimensioneringen af bygningen.

Oplagstal: 9

Sidetal: 79

Bilag: 4

Afsluttet 27-05-2015

Rapportens indhold er frit tilgængeligt, men offentliggørelse (med kildeangivelse) må kun ske efter aftale med forfatterne.

Forord

Denne rapport er udarbejdet af gruppe B149, der er en gruppe af 2. semesters studerende på Byggeri og Anlæg-uddannelsen ved Aalborg Universitet. *Modellernes Virkelighed* er det overordnede tema for projektet, med undertemaet *Vækstaksen i Aalborg*. Projektet omhandler den nye tilbygning ved Strøybergs Palæ, som er en bevaringsværdig bygning, beliggende centralt i Aalborg.

Der rettes stor tak til vejledere Gitte Lyng Grønbeck og Johan Clausen og Katrine Rabjerg Meltofte for vejledning og konstruktiv kritik.

Læsevejledning

Der vil igennem rapporten fremtræde kildehenvisninger, og disse vil være samlet i en kildeliste bagerst i rapporten. Der er i rapporten anvendt kildehenvisning efter Harvardmetoden, så i teksten refereres en kilde med [Efternavn, År]. Denne henvisning fører til kildelisten, hvor bøger er angivet med forfatter, titel, udgave og forlag, mens Internetsider er angivet med forfatter, titel og dato. Figurer og tabeller er nummereret i henhold til kapitel, dvs. den første figur i kapitel 7 har nummer 7.1, den anden, nummer 7.2, osv.

Jacob Scharling Jørgensen

Karoline Vestergaard Hansen

Katrine Nørgaard Reberholt

Marc Lund Nielsen

Michael Elgaard Mortensen

Morten Rask Jensen

Nikolaj Skov Gravesen

Indholdsfortegnelse

Kapitel 1 Indledning	1
Kapitel 2 Problemformulering	3
2.1 Problemformulering og problemstillinger	3
2.2 Problemafgrænsning	3
Kapitel 3 Aalborg i vækst	5
3.1 Aalborg gennem tiden	5
3.2 Strøybergs Palæ	6
Kapitel 4 Et fremtidigt Aalborg	9
4.1 Kommuneplan	9
4.2 Aalborg Kommuneplan	10
4.2.1 Aalborg Vækstakse	11
4.3 Vækstaksens betydning	13
4.3.1 Er visionerne realistiske?	13
4.3.2 Hvorfor udvide Strøybergs Palæ?	15
Kapitel 5 Udvikling af området	17
5.1 Lokalplan	17
5.2 Lokalplan 1-1-107	18
5.2.1 Fra gammel til ny lokalplan	20
5.3 Delkonklusion	21
Kapitel 6 Dimensionering af stålprofiler	23
6.1 Laster	25
6.1.1 Permanente laster	25
6.1.1.1 Egenlast	25
6.1.1.2 Jordlast	30
6.1.2 Variable laster	32
6.1.2.1 Snelast	32
6.1.2.2 Vindlast	34
6.1.2.3 Nyttelast	40
6.2 Lastkombinationer	40
Kapitel 7 Brudgrænsetilstand	45
7.1 Reaktioner	45
7.2 Snitkræfter	47
7.3 Spænding	47
7.4	47
Kapitel 8 Geologi	49

8.1 Aalborgs geologi	49
8.2 Jord	49
8.2.1 Beskrivelse af jord og jordtyper	49
8.2.2 Jordtypernes udseende og dannelse	49
8.2.3 Jords styrke og stivhed	50
Kapitel 9 Dimensionering af fundament	53
9.1 Fundering	53
9.2 Antagelser	54
9.3 Forsøg	54
9.3.1 Forsøg 1: Vandindhold	54
9.3.2 Forsøg 2: Sigteanalyse	55
9.3.3 Forsøg 3: Kornvægtfylde	57
9.3.4 Forsøg 4: Løs og fast lejring	58
9.3.5 Friktionsvinklen	59
Kapitel 10 Konklusion	61
Litteratur	63
Appendiks A Beregning af q_p	67
Appendiks B Forsøg: Vandindhold	69
Appendiks C Forsøg: Sigteanalyse	71
Appendiks D Forsøg: Kornvægtfylde	73
Appendiks E Forsøg: Løs og fast lejring	75

Indledning 1

Aalborg Kommune er med et indbyggertal på over 205.000 og et areal på cirka 1,140km², landets fjerdestørste kommune målt på indbyggertal ???KILDE! og landets anden største kommune målt på areal ???KILDE. Det område, som Kommunen dækker, er vist på Figur 1.1.



Figur 1.1. Aalborg Kommune

Aalborg er en tidligere industriby og førhen var industriområderne placeret i Aalborg Centrum. Nye planer for Aalborg har ført denne industri ud i nogle yderpunkter af Aalborg by. Derfor har kommunen nye visioner om at flytte kultur, studieliv og turisme ind, hvor der før var industri. Kommunens visioner omkring byens udvikling fremgår af Kommuneplanen, hvor det primære fokus i denne rapport vil være et område gennem Aalborg, der er tiltænkt mest vækst, dette betegnes som Vækstaksen (se Figur 4.1).

Indenfor de seneste 10 år har Aalborgs centrale havnefront gennemgået en stor udvikling. Denne er stadig i gang, hvilket ses ved, at der kommer flere boligbyggerier til havnen, som Strøybergs Palæ er en del af.

Det har siden år 2010 været på tale, at lave en tilbygning til den bevaringsværdige bygning, Strøybergs Palæ. Hovedbygningen af Strøybergs Palæ er fra år 1900 [Kulturstyrelsen, b], mens sidebygningen er fra år 1908 [Kulturstyrelsen, c], beliggende centralt i Aalborg ved

Slotspladsen, der er en cirka 200 m vejstrækning og plads ved Aalborgs centrale havnefront, samt i nærheden af museet Utzon Centret og overfor shoppingcentret Friis. Figur 1.2 viser Strøybergs Palæs beliggenhed i Aalborg.



Figur 1.2. Strøybergs Palæs beliggenhed

Når der skal anlægges nye arealer, bygninger, veje osv., skal det opføres i henhold til en lokalplan, der dækker et mindre område inden for kommunen, og har til formål at styre udviklingen indenfor dette område ved hjælp af fastlagte regler og målsætninger. Den gældende lokalplan for området ved Strøybergs Palæ er lokalplan 1-1-107.

Problemformulering 2

2.1 Problemformulering og problemstillinger

For at gennemføre planen om en tilbygning til Strøybergs Palæ kræves det, at lokalplanen for området stemmer overens med kommuneplanen. Ved konstruktionen af tilbygningen er det også nødvendigt at kende til geologien for området, for at bestemme hvilken type fundering, der skal benyttes. Dertil skal der anvendes en passende ståltype til dimensionering af stålprofilerne, for at tilbygningen har en tilstrækkelig bæreevne. Desuden skal der bestemmes en funderingstype til tilbygningen ud fra områdets geologi og jordbundsforhold.

- Har Vækstaksen en betydning for tilbygningen af Strøybergs Palæ?
- Hvilken ståltype og stålprofil skal der anvendes ved tilbygningen til Strøybergs Palæ?
- Hvilken funderingstype skal der benyttes ved området omkring Strøybergs Palæ?

2.2 Problemafgrænsning

Dette projekt beskriver tilbygningen af Strøybergs Palæ ud fra både et kontekstuel og teknisk aspekt. I den kontekstuelle del lægges der vægt på beskrivelsen af Aalborg Kommuneplan samt udviklingen af områderne inden for Vækstaksen; hertil i særdeleshed området omkring havnefronten og Strøybergs Palæ, hvor Vækstaksens betydning for tilbygningen, samt tilbygningens relevans, diskuteres. Dertil beskrives og analyseres lokalplanen for området omkring Strøybergs Palæ, Lokalplan 1-1-107.

Den tekniske del belyser tilbygningen af Strøybergs Palæ ud fra to emner; konstruktionen af tilbygningen samt de geologiske forhold for området. I konstruktionsdelen opstilles der et statisk system for tilbygningen, hvilket skal dimensioneres efter en række laster.

Hertil beskrives de geologiske forhold, som gør sig gældende for Aalborg, hvortil der er foretaget jordbundsanalyser, for at finde frem til, hvilken type fundering der skal benyttes for tilbygningen.

Aalborg i vækst 3

Aalborg har stor fokus på udviklingen af byen, og flere centrale områder i byen har indenfor de seneste fem år gennemgået en større renovering og fornyelse. Følgende afsnit vil beskrive byens udvikling helt tilbage fra dens grundlæggelse og frem til i dag, da Vækstaksen yderligere vil ændre på Aalborgs identitet som tidligere industriby. Slutteligt vil en af Aalborgs gamle og bevaringsværdige bygninger, Strøybergs Palæ, beskrives, da der er planer om en udvikling af denne bygning i form af en tilbygning.

3.1 Aalborg gennem tiden

Aalborg er en by fra omkring år 1040, og er i dag Danmarks fjerde største by [Danske, 2014]. Byen har gennem årene udviklet sig til en købstadsby og handelscentrum for Nordjylland [for Byhistorie]. Dette grundet dens beliggenhed ved Limfjordens smalleste punkt og udmundingen af tre større åer, der var grundlag for små havne. Beliggenheden har gjort det muligt for Aalborg, at udvikle sig i størrelse og som by. I 1500-tallet nød byen godt af silde- og kornekspedition til Norge, samt studeeksport til Tyskland [for Byhistorie]. Da Limfjorden var sandet til, skulle alt eksport vest for Aalborg gå gennem Aalborg for at blive fragtet til Norge og andre steder. Aalborg fik velstand og flere indbyggere der i 1600-tallet nåede op på omkring 4.000 indbyggere [Dansk Center for Byhistorie]. På daværende tidspunkt blev Aalborg Danmarks andenstørste by. Dette varede ikke ved, da andre jyske byer blev prioriteret højere af kongen, og derved udviklede de sig mere eksponentielt i det kommende århundrede end Aalborg. Det, at Limfjorden brød igennem på vestsiden og Danmark mistede Norge, gavnede heller ikke Aalborgs position i forhold til handlen [Dansk Center for Byhistorie].

Til trods for dette fortsatte Aalborg alligevel med at udvikle sig, og 1800-tallets industrialisering fik indbyggertallet til at stige stødt. Fra 1830'erne flyttede flere industrier til Aalborg, heriblandt spritfabrikken (forløberen for De Danske Spritfabrikker) og C.W Obels Tobaksfabrik. De store kridt- og lerfund i undergrunden ved Aalborg lagde grunden for cementindustrien, hvor Aalborg Portland, som den største cementfabrik, alene beskæftigede 450 ansatte. Mange flere industrier blev grundlagt eller flyttede til Aalborg, og en del af disse var blandt landets største inden for deres område. Dette fik indbyggertallet til at stige gennem en cirka 50-årig periode til 30.000. Det var ikke kun indbyggertallet der steg. For at Aalborg by skulle kunne følge med eksporten, som også dengang hovedsageligt foregik via skibsfragt, udvidede byen havnen, som i starten af 1900-tallet blev Danmarks næststørste havn [for Byhistorie].

Befolkningsstallet er siden 1990'erne vokset, og er i dag stadig stigende [Dansk Center for Byhistorie]. Dette er resultatet af, at Aalborg har udviklet sig fra at være en industriby til at være en kompetenceby [Kommune, 25.11.2013b]. Hovedårsagen til denne udvikling er,

at størstedelen af industrien, som Aalborg var kendt for at have inde i centrum af byen, og som var hoveddelen af identiteten af Aalborg, er flyttet til yderkanterne af byen. I stedet er der nu fokus på at have et levende Aalborg, som skal kendes for at være en kompetenceby [Kommune, 25.11.2013b].

Havnefronten på Aalborgs side af Limfjorden er blevet et nøglepunkt for Aalborg Kommune, da denne tidligere var fyldt med fabrikker. Der er siden år 2000 foretaget mange ændringer ved havnefronten for at gøre Aalborg mere attraktiv og give den en ny identitet som byen for kompetence og innovation [A/S et al., 2009].

Disse ændringer har blandt andet været, at dele af den industri, som lå ved havnefronten, er flyttet ud af det centrale Aalborg og ud til mere fremkommelige steder [Kommune, 25.11.2013b]. Dette har givet plads til et område med mere servicehverv. Denne type erhvervsområde gør det også muligt at opføre boliger i området, da der ikke vil være de samme støjgener, som der ville komme fra et industriområde. Denne udvikling fik muligheden for at tage fart, efter der blev lavet en ændring i planloven den 1. juli 2003, der ændrede bestemmelserne for byomdannelse. Denne ændring gjorde det muligt for kommunerne at omdanne tidligere industriområder til blandt andet servicebygninger og boligområder [Johansen og Mathiasen, 2004]. En del af denne udvikling har været bebyggelsen af flere forskellige kollegieboliger som for eksempel Bikuberne ved Utzon Parken og Larsen Waterfront. Disse boliger ligger tæt op ad nogle nye kulturelle bygninger som Utzon Centeret og Musikkens Hus, samt Nordkraft, som tidligere var et kulkraftværk, men i dag er omdannet til et kulturhus med mulighed for både sport og kulturelle oplevelser. Disse byggerier viser den udvikling, som Aalborgs centrale havnefront gennemgår fra industriområde til boligområde. Havnefronten er i en stadig udvikling, da der fortsat kommer flere boligbyggerier til. Det har også givet anledning til tilbygninger, her i blandt en kommende tilbygning til den bevaringsværdige bygning Strøybergs Palæ, der ligger ved havnefronten [Kommune, b].

3.2 Strøybergs Palæ

Lokalplan 1-1-107 har opdelt området, omfattende Strøybergs Palæ, i to delområder. Delområde A med matrikelnummer 518g omfatter den bevaringsværdige sidebygning til Strøybergs Palæ, og delområde B med matrikelnummer 519b omfatter den bevaringsværdige hovedbygning til Strøybergs Palæ [Kommune, Oktober 2012, s. 7]. Hovedbygningen ligger på Gammel Havn 1, og er fordelt på stueetage, 1. sal, 2. sal samt kælder og tagetage, mens sidebygningen ligger på Nyhavnsgade 9 og er fordelt på stueetage, 1. sal, 2. sal og 3. sal samt kælder og tagetage. Ejendommen er op til 22 m høj og har et samlede grundareal på 1037 kvm [Forvaltning, 1908-2015].

Strøybergs Palæ er siden opførelsen blevet anvendt til mange forskellige formål. Nyhavnsgade 9 blev opført som en ejerlejlighedsejendom, opdelt i ni ejerlejligheder af forskellig størrelse, og Gammel Havn 1 blev på daværende tidspunkt primært brugt til erhverv. Kælderen blev i år 1920 omdannet fra hestestald til garage, og er derudover blevet brugt som lager [Forvaltning, 1908-2015]. I dag bliver Strøybergs Palæ hovedsageligt anvendt til erhverv, og huser blandt andet ejendomsmæglerfirmaet EDC Danebo.

Siden år 2010 har det været på tale, at lave en tilbygning til Strøybergs Palæ, og omdanne bygningen til lejligheder med udsigt over Limfjorden [A/S, 2008]. I den forbindelse blev

lokalplan 1-1-107 udarbejdet med et ønske om at lave denne tilbygning. Området ønskes hovedsageligt anvendt til kontor- og serviceerhverv samt boligformål [Kommune, Oktober 2012, s. 7].

Et fremtidigt Aalborg

4

Nedenstående afsnit vil behandle Aalborgs kommuneplan med primært fokus på Aalborgs Vækstakse, der er ét af fem hovedpunkter i kommuneplanen. En beskrivelse af de fire resterende fokuspunkter vil give en forståelse for, at kommunen har flere tanker om byens udvikling, og alle fem fokuspunkter har relevans for hinanden og gavner til byens udvikling.

4.1 Kommuneplan

En kommuneplan er kommunens overordnede plan for kommunens udvikling. Inden for en periode på 12 år fastlægger kommunen de overordnede mål og retningslinjer for kommunens udvikling såvel i byerne som i det åbne land [Aalborg Kommune, 25.11.2013a].

En kommuneplan består af; en hovedstruktur, retningslinjer, kommuneplanrammer, bilag og tilhørende planredegørelse.

Hovedstrukturen er den overordnede, strategiske og sammenfattende fysiske plan for kommunen. Den fastlægger de overordnede mål for udviklingen inden for de enkelte sektorer for hele kommunen og for de enkelte områder [Aalborg Kommune, 25.11.2013a].

Retningslinjerne udgør de overordnede rammer for kommuneplanlægningen. De fastsætter principperne for arealanvendelsen i kommunen, og danner ligeledes grundlag for kommunens administration af planlovens landzonebestemmelser, samt administrationen af kompetencer indenfor anden lovgivning, herunder natur-, miljø-, bygge- og vejlovgivningen og husdyrloven. Retningslinjerne angiver sammen med områdeudpegningerne hvilke forhold, der skal tages hensyn til i administrationen, og hvilke konkrete skøn der skal foretages for disse områder [Aalborg Kommune, 25.11.2013b].

Kommuneplanrammerne styrer den overordnede arealanvendelse og danner ramme for indholdet i nye lokalplaner. Planrammerne fastlægger dermed mål, muligheder og begrænsninger for arealanvendelse i de enkelte dele af kommunen. Kommuneplanrammerne har to niveauer: 1) by/bydel/landområde og 2) rammeområder. Det første niveau "by/bydel/landområde", behandler områdets særlige problemer, værdier og muligheder i en sammenhæng. Det andet niveau "rammeområder", er det mest detaljerede niveau i kommuneplanen rent geografisk. Her fastsættes de bestemmelser, der danner grundlag for lokalplaner [Aalborg Kommune, 31.12.2006b].

Bilag er de generelle rammebestemmelser, hvor der henvises til de aktuelle bilag fra de enkelte emner [Aalborg Kommune, 23.11.2009].

Planredegørelser beskriver forudsætninger for, og ændringerne i den konkrete planlægning. Byrådet offentliggør, sammen med alle kommuneplanforslag eller med forslag til kommune-

plantillæg¹, en redegørelse om planens baggrund og sammenhæng med anden planlægning. Kommuneplanen ledsages også af en planredegørelse og planstrategi, hvilken laves minimum hvert fjerde år i tilknytning til kommunens budget. Denne er byrådets instrument og baner vejen for at realisere kommuneplanens mål. Her oplyses blandt andet om kommuneplanens væsentlige forudsætninger, planlægninger der er gennemført det forgangne år, det kommende års kommuneplaninitiativer samt byrådets vurdering af og strategi for udviklingen for både det kommende år (budgetåret), de kommende fire år (overslagsårene) og en længere periode på 12 år. Desuden laves der jævnligt statusredegørelser, som giver et overordnet billede af kommunens fysiske udvikling og præsenterer de økonomiske tiltag, der knytter sig til kommunens sektorer og geografiske områder [Aalborg Kommune, 31.12.2006a].

4.2 Aalborg Kommuneplan

Aalborg Kommuneplan beskriver kommunens udvikling inden for de 12 kommende år og er opdelt i fem fokuspunkter:

1. Byerne - et godt sted at bo hele livet
2. Nødvendige forbindelser - mobilitet
3. Det åbne land
4. Bæredygtighedsprofil
5. Aalborg - den attraktive storby

Et af Aalborg Kommuneplans fem fokuspunkter er "Byerne - et godt sted at bo hele livet". De større byer under Aalborg Kommune har, i kraft af nærheden til Aalborg, en god infrastruktur, et varieret serviceudbud samt tilstrækkeligt befolkningsunderlag. Det er et særligt potentiale for byvækst, der skal udnyttes for at understøtte Aalborg som Norddanmarks Vækstdynamo.

Byvæksten skal have særligt fokus på nye, kreative boligformer, som tilgodeser klimaudfordringer, demografiske udfordringer og bæredygtighed.

Ikke kun de større byer nær Aalborg har en væsentlig rolle i projektet. Mindre byer og landsbyer er også i fokus, og har en særlig rolle som opland til Aalborg med store kvaliteter indenfor bosætning, rekreation og friluftsliv [Kommune, 25.11.2013a].

Et andet af Aalborg Kommuneplans fem fokuspunkter er "Nødvendige forbindelser - mobilitet". Dette fokuspunkt omhandler byens behov for forbindelser, der kan håndtere transportbehovet og gøre det mere attraktivt at benytte offentlig transport såsom bus og tog, samt at tage cyklen, da Aalborg Kommune har en målsætning om at blive Danmarks førende cykelby. Kommunens mål er færre bilkøer, god adgang til indkøb, service og arbejdspladser samt sikring af forbindelser, der understøtter en effektiv godstransport. Derudover satser Aalborg på en letbane som det bærende element i byen [Kommune, 25.11.2013d].

Fokuspunktet "Det åbne land" omhandler benyttelsen og beskyttelsen af det åbne land.

¹Opstår der problemer med at realisere en lokalplan ud fra kommuneplanen, så anvendes der et kommuneplantillæg, som er et supplement til den eksisterende kommuneplan. Denne kan justere og ændre bestemmelserne i kommuneplanen, for at gøre det muligt at realisere lokalplanen [Kommune, c].

Dette skal ske på et bæredygtigt grundlag med plads til oplevelser, natur, erhvervsinteresser og vedvarende energi. Det åbne land skal danne ramme om levende og aktive områder [Kommune, 25.11.2013c].

Aalborg Kommune har også stor fokus på bæredygtighed og har dertil punktet "Bæredygtighedsprofil". Udviklingen af et bæredygtigt samfund omhandler flere punkter, såsom at passe på miljøet, klimaet og naturen, om at bygge byer for mennesker og om at få det bedste ud af den nuværende økonomiske virkelighed. En bred tilgang til bæredygtighed er derfor udgangspunktet [Kommune, 25.11.2013e].

4.2.1 Aalborg Vækstakse

Det femte og sidste fokuspunkt i Aalborgs kommuneplan er "Aalborg - den attraktive storby". Dette fokuspunkt indeholder yderligere tre punkter; vækstaksen som byens motor, byudviklingsprincipper for Aalborg og fokus på bykvalitet.

Aalborg Kommune har valgt at koncentrere sig om et vækstbånd, kaldet Vækstaksen, som skal danne grundlag for Aalborgs udvikling, hvor der er fokus på det generelle udviklingsprincip [Kommune, 25.11.2013b]. Området går fra Aalborg Lufthavn i vest, gennem midtbyen, til Campus og videre ud til østhavnen, hvilket illustreres på Figur 4.1.

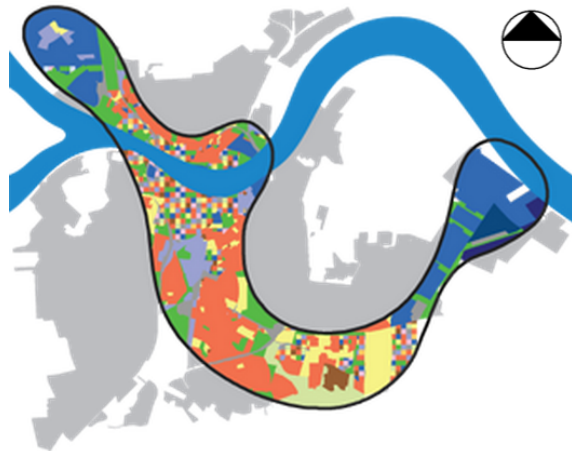
Blandt Vækstaksens mest centrale elementer er færdiggørelsen og videreudviklingen af en række større områder i Aalborg, som for fremtiden skal være med til at skabe Aalborg som storby og præge dens identitet. Gennem disse færdiggørelser vil bykvaliteten øges, og byen vil blive mere attraktiv. Der lægges derfor stor vægt på arkitektoniske overvejelser samt historiske skulpturer og monumenter, når der skal bygges og renoveres [Kommune, 25.11.2013b].

Her har havnefronten, som et af de første områder, gennemgået en stor renovering, hvor der er etableret både Aalborg Havnebad, Jomfru Ane Parken og sportsfaciliteter. Derudover blev Tivoli Karolinelund fjernet i 2011, og i 2012 åbnede en ny Karolinelund park, som nu danner ramme for mange forskellige nichekulturer, såsom koncerter, Platform 4, legepladser og meget mere, og parken er fortsat under udvikling [VisitAalborg, a] [VisitAalborg, b].

Aalborg er gennem renoveringen af den nye havnefront også vokset som kulturbyp, og i dag er kultur blevet en bærende del af byen, hvor der findes KUNSTEN Museum, Aalborg Kongres & Kultur Center, Nordkraft samt det nye Musikkens Hus, der åbnede i 2014, hvor der hver uge afholdes forskellige koncerter og andre arrangementer. Dette er altsammen med til at styrke Aalborg som vækstby og byens erhvervsturisme [Kommune, 25.11.2013b]. Ligeledes er der planer om en ny kulturbro på Jernbanebroen, som også skal være med til at styrke kulturen i Aalborg og Aalborg Kommune. Ved at styrke kulturen styrkes bykvaliteten også, og byen bliver en levende by, hvor det er muligt at binde shopping, café og kulturliv sammen [Aalborg] [VisitAalborg, c].

Den gamle Eternitgrund i Aalborg havde i en lang årrække stået ubrugt hen, men gennem de sidste fem år er der etableret både studieboliger, supermarkeder, fitnesscenter og et nyt legeland for børn. Virksomheder som Plus Bolig og COWI er ligeledes flyttet ned på Eternitten, og i dag er Eternitten blevet en stor drivkraft for Aalborg, hvor der fortsat er fremtidige planer om grønne arealer også [Kommune, a].

Projektet om Vækstaksen er i fuld gang, og inden for den nærmeste fremtid skal også Godsbanearalet og det østlige Aalborg udvikles, for at øge oplevelsesmulighederne, kulturtildelene og skabe attraktive og bæredygtige livsvilkår her. Det er dog ikke kun nybyggerier, som Vækstaksen har fokus på. For Aalborg Kommune er det også vigtigt, at vedligeholde de gamle bygninger, for at opretholde byens historisk identitet [Kommune, 25.11.2013b].



Figur 4.1. Aalborgs Væsktakse [Kommune, 25.11.2013b]

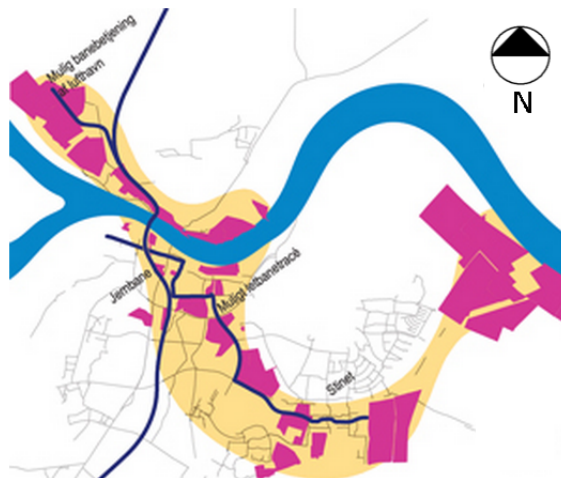
Vækstaksen skal være attraktiv for alle aldersgrupper og skal derfor have noget at tilbyde hver enkelte borgere, og skal ligeledes være med til at skabe oplevelsesmuligheder og kulturtildel.

En stor del af planerne for Vækstaksen er byfortætning, mobilitet, studieby og miljø [Kommune, 25.11.2013b]. Der er i Aalborg Kommune stor udviklingspotentiale inden for byfortætning. På Figur 4.2 ses udviklingspotentialet i Vækstaksen. De lilla markerede områder er der hvor Aalborg Kommune har bedst udviklingspotentiale [Kommune, 25.11.2013b].

Dette udviklingspotentiale er i form af tilbyggelse og omdannelse af boliger, arbejdspladser og naturområder. Byfortætning kan resultere i en meget presset infrastruktur, derfor er mobilitet et essentielt punkt for optimering af byens potentiale [Kommune, 25.11.2013b]. Det er vigtigt, at der er let og hurtigt adgang til offentlig transport, og det skal gøres mere attraktivt, at tage cyklen. Målet er, at få en stor by til at opfattes som en "lille by", ved at gøre transport lettilgængeligt og derfor nemt at komme fra bydel til bydel. Infrastrukturen vil styrkes blandt andet via en cykelmotorvej samt en kommende letbane, som skal forbinde Østhavnen, Campus, det kommende superhospital i Aalborg Øst, midtbyen og ud til Aalborg Lufthavn [Kommune, 25.11.2013b].

Ved Vækstaksens to endepunkter ligger Aalborgs største industriområder, Aalborg Østhavn og Aalborg Lufthavn. Disse industriområder er kommet til, efter industrifirmaer er begyndt at flytte fra havnefronten og ud til yderkanten af Vækstaksen. Trods denne flytning forbliver Aalborg en erhvervsby samtidig med, at den gradvist omdannes til en studieby. De store industrifirmaer er stadig vigtige for Aalborg, da de er med til at skabe omsætning og arbejdspladser [Kommune, 25.11.2013b].

Da Aalborg gradvist omdannes til en studieby, er det vigtigt, at der i Vækstaksen støttes op om Aalborgs studieliv og studiemiljø, da 10% af Aalborg Kommunes befolkning be-



Figur 4.2. Udviklingspotentiale [Kommune, 25.11.2013b]

står af studerende [Universitet]. Et godt studiemiljø vil styrke innovation, konkurrence og vækst i erhvervslivet. Det er nødvendigt med gode uddannelsesmuligheder, faciliteter samt ungdomsboliger til de studerende, hvilket også vil gøre det attraktivt for udefrakommende at studere i Aalborg. Centrum for studielivet i Aalborg udspringer fra Campus i Aalborg Øst, hvor størstedelen af de videregående uddannelser findes [Kommune, 25.11.2013b].

Aalborg Kommune ønsker også at udvikle byens natur og udendørsliv. Til at opnå dette vil kommunen opføre parker, stasisystemer og vandløb. Vandløbene vil give byen historisk identitet, samtidig med at de vil beskytte byen under eventuel øget vandstand, da de kan forsinke vandet [Kommune, 25.11.2013b]. Formålet med parkerne og et naturregt Aalborg er at skabe et sundhedsfremmende forhold for alle aldersgrupper og beskytte klimaet. Desuden vil Aalborg Kommune gøre Aalborg til en miljøvenlig storby, som antages at gøre byen mere attraktiv, og dermed øge indbyggertallet. Derfor vil Aalborg Kommune genoprette naturen og give velfærd til byens borgere [Kommune, 25.11.2013b].

4.3 Vækstaksens betydning

Formålet med Vækstaksen er, at styrke Aalborg som by, og der er en forventning fra Aalborg Kommune om, at byen bliver Nordjyllands Vækstdynamo, men er dette realistisk? Nedenstående afsnit vil stille spørgsmålstege ved Vækstaksen, og diskutere, hvilken sammenhæng Strøybergs Palæ og Vækstaksen har med hinanden. I den forbindelse vil der diskuteres, hvorfor der ønskes en tilbygning, og hvorfor det netop er i dette område, det er fordelagtigt at udvide.

4.3.1 Er visionerne realistiske?

Vækstaksen er placeret således, at den går gennem Aalborgs centrale områder for kultur, uddannelse, erhverv og miljø. Aalborg Kommune ønsker at etablere en god infrastruktur, som den kommende Letbane for eksempel skal hjælpe med [Kommune, 25.11.2013b]. Det er fordelagtigt at udvide samt udvikle i Vækstaksen, da områderne samt virksomhederne er drivkraften for Aalborg [Aalborg, 2014a], og det er her, at byens liv er, og fremtiden skal skabes. Selvom områderne i dag fungerer som drivkraft, skal disse stadig videreudvikles,

da Aalborg er en by i stor vækst, hvilket afspejles af både stigende indbyggertal og antal virksomheder, som flytter til og skabes i Aalborg [Statistik][Junker]. Derfor kan Aalborg Kommune ikke blot stille sig tilfreds med de nuværende tilstande, da byen skal udvides, for at være forberedt på fremtiden; ellers er der ikke plads til udviklingen, og den vil bremses, gå helt i stå eller i værste fald gå den anden vej.

Udviklingen af byen vil primært ske gennem en byfortætning, da de centrale områder allerede i dag er fyldt med liv samt kultur, erhverv og uddannelse. Der er altså ikke tale om store udvidelser af områderne, men snarere optimeringer af de allerede eksisterende områder, og derfor kan infrastrukturen opleve problemer.

I takt med at indbyggertallet stiger kan det formodes at antallet af biler vil stige. Derfor kan spørgsmålet stilles, om det er realistisk med en fortætning af byen samtidig med, at Aalborg Kommune har en målsætning om, at det skal være let at færdes i byen som fodgænger, cyklist og med offentlig transport [Kommune, 25.11.2013b]. Dette afspejler sig i trafikken omkring Nyhavnsgade, som strækker sig fra Nordkraft forbi Strøybergs Palæ og videre langs med havnefronten. Her er vejen ændret fra en 4-sporet vej til en 2-sporet. Derfor er antallet af bilister næsten halveret, fra 20.500 (ÅDT) til 11.000 (ÅDT), og hastigheden er sænket [Kommune, Oktober 2012, s. 6]. Selvom Aalborg Kommune har sænket antallet af bilister omkring centrum, så vil en udvikling af byen og et øget indbyggertal betyde, at flere bilister igen vil køre gennem centrum, så trafikken igen vil begynde at stige. Derfor har Aalborg Kommune kun løst problemet delvist, for med tanke på en kommende vækst for byen så øges årsdøgntrafikken. Det betyder, at Aalborg Kommune igen vil stå med et problem, hvis ønsket om at opretholde et lavt antal bilister samt at det skal være let at færdes i byen for de bløde trafikanter, skal imødekommes. Nu er det blot ikke muligt at skære ned på antallet af kørespor, og derved skal der findes en ny løsning, med mindre Aalborg Kommune ændrer synspunkt på problemet.

Aalborg Kommune ønsker færre biler omkring centrum, for at gøre det mere attraktivt og lettere for de bløde trafikanter at færdes [Kommune, 21.11.2012] [Schouenborg, 08.09.2014]. Letbanen vil gøre det mere attraktivt at undvære bil i Aalborg, men i takt med fortætningen er spørgsmålet, om det er nok, til at det føles let at færdes i Aalborg. Et andet fokuspunkt er en tredje Limfjordsforbindelse, som der i dag er ønske om [Vejdirektoratet, 2011]. Trafikken i morgen- og eftermiddagstimerne til og fra Aalborg er tæt, og særligt når der opstår et trafikuheld i en af Limfjordsforbindelserne for køretøjer over Limfjorden, så opstår der trafikale problemer omkring den anden forbindelse, og centrum bliver overbelastet. Dette kan en tredje Limfjordsforbindelse afhjælpe, da den af naturlige årsager vil medføre flere biler på vejen, og omvendt vil trafikken også blive mere jævn fordelt, da der kommer en ekstra strækning, som bilisterne kan anvende. Dette kan gavne Aalborg Centrum, både ved den daglige trafik omkring centrum, og ved et eventuelt uheld i Limfjordstunnelen, da det ikke længere kun vil være centrum, der så giver adgang for bilister til at passere over på den anden side af fjorden. Her vil en tredje forbindelse så også vil kunne anvendes, og dermed lette trafikken.

Aalborg har et ønske om at være Danmarks bedste studieby [Aalborg, 2014b], og derfor kræves der nok studieboliger til de studerende. Der er i landet en generel mangel på studieboliger, og dette gør sig også gældende for Aalborg, selvom det ikke er i ligeså høj grad som eksempelvis København. Det skyldes Aalborgs store fokus på de studerende og behovet for studieboliger, hvoraf der er blevet bygget over 6.000 studieboliger siden 2010

inden for Vækstaksen, både på Aalborg og Nørresundby siden, og der bygges fortsat flere nye boliger i dag [Øhrstrøm og Washuuus, 2014]. Dette er et led i Vækstaksen og planerne om Aalborgs fremtid. De seneste fem år har de videregående uddannelser oplevet rekordmange ansøgninger og dermed flere studerende [Clement og Andersen, 2014], hvilket betyder, at studieboligerne hurtigt bliver lejet ud. Der er fra år 2009 til 2014 kommet ca. 8.000 flere studerende til [Universitet, 2013, s. 9]. Et af kommunens fokuspunkterne er, at gøre Aalborg en attraktiv studieby med studievenlige priser på boligerne. Sammenlignes priserne med de tre andre storbyer i Danmark; Aarhus, Odense og København, er boligerne i Aalborg væsentlig billigere [Home, 2014], hvilket kan være en medvirkende faktor til, at Aalborg er attraktiv for de unge.

Aalborg Kommune har også et ønske om, at byen skal være for alle mennesker i alle aldersgrupper samt et attraktivt sted for erhverv [Landsforening, 05.05.2014] [Kommune, 25.11.2013b]. Spørgsmålet er dog, hvor erhverv skal etableres inden for Vækstaksen, og hvad der kan gøres for de indbyggere, som ikke er studerende. Havnefronten, som er en af de bærende elementer i Vækstaksen, anvendes ikke kun af unge, men også af børnefamilier. Derudover byder Aalborg også på naturområder og attraktioner, som er for alle i alle aldersgrupper.

For nye virksomheder gælder det, at der skal være kontorlokaler og bygninger, som kan husse virksomhederne. Ligeledes skal virksomhedens beskæftigelse gerne passe med Aalborg, således at der er en sammenhæng mellem kunde og virksomhed. Med en målsætning om, at være en attraktiv storby med mange muligheder for virksomheder, er der derfor et godt grundlag for at drive virksomhed i Aalborg, også i fremtiden. Indenfor Vækstaksen ligger der utallige virksomheder, men der er stadig tomme erhvervslokaler, som vil give plads til flere virksomheder. Heriblandt skal der ske en udvidelse af Strøybergs Palæ, som har en central beliggenhed i Vækstaksen, helt nede ved havnefronten.

4.3.2 Hvorfor udvide Strøybergs Palæ?

Strøybergs Palæ ligger i Vækstaksen. På Figur 4.2 ses det, at Strøybergs Palæ ligger i det lilla område og er dermed i et område, hvor der er størst mulighed for udvikling inden for Vækstaksen. Grundet havnefrontens udvikling de sidste 10 år, har der været fokus på udviklingen her, og nu har Aalborg Kommune godkendt forespørgslen om en tilbygning til Strøybergs Palæ, da der allerede er bygget Musikkens Hus, havnefronten, Utzon Centeret og Utzon Parken omkring området. Udviklingen omkring havnefronten er sket i takt med Vækstaksens fokus herpå. Om havnefronten havde fået en udvikling overhovedet eller i lige så høj grad, hvis tankerne og ideérne omkring Vækstaksen ikke var blevet sat i værk, kan diskuteres. Uden en vækstakse vil der stadig ske en udvikling ved havnefronten, men ikke i ligeså høj grad, som nu, hvor Vækstaksen bringer ekstra fokus på området. Dog må det formodes, at havnefronten ikke vil udvikle sig i samme retning i forhold til de kulturmæssige fokuspunkter som Vækstaksen giver.

Det kan ligeledes diskuteres om Vækstaksen overhovedet har haft indflydelse på udvidelsen af Strøybergs Palæ. Placeringen af Strøybergs Palæ midt i Vækstaksen, kan tænkes at have haft indflydelse på beslutningen om, at der skal laves en tilbygning, fordi bygningen skal leve op til Aalborg Kommunes forventninger, og ønsker for fremtiden. Tilbygningen kan

bruges til erhvervslokaler, og dette vil kunne tiltrække en eller flere nye virksomheder til området, og dermed være med til at udvikle både området og Aalborg by. Omvendt kan spørgsmålet dog også stilles, om denne tilbygning vil få den ønskede effekt og kunne leve op til disse målsætninger. Det vil være naivt at tro, at en udvidelse på nogle få hundrede kvadratmeter vil gøre en betydende forskel for Aalborg, og det kan derfor ikke alene være grunden til tilbygningen, men snarere en af flere årsager. Strøybergs Palæ er kun en lille del af Vækstaksen, og skal derfor ikke bære Aalborgs udvikling og vækst alene.

Hovedpunkterne i Vækstaksen er, at Aalborg skal vokse som by, og udvikles gennem en byfortætning, hvor målet er, at tiltrække flere virksomheder og indbyggere. En udvidelse af Strøybergs Palæ vil give ekstra erhvervslokaler og/eller lejligheder, og dette passer godt sammen med Vækstaksen. Tilbygningen betyder desuden, at Strøybergs Palæ vil få et mere harmonisk udseende ud mod vandet, da tilbygningen vil blive bygget i samme arkitektoniske stil som resten af bygningen, og den nordøstlige del af bygningen vil komme op i cirka samme højde, som resten af bygningen. Sammen med resten af havnefronten vil Strøybergs Palæ gennemgå en renovering, som løfter udseendet samt medfører, at området vil få en mere ensformet og harmonisk stil.

Det, at området bliver et centralt fokuspunkt for fremtiden betyder også, at området bliver mere attraktivt, idet der kommer til at ske en fortsat udvikling af området, og netop derfor kan en tilbygning være en god investering, da det giver ekstra plads og bedre forudsætninger for udviklingen.

Udvikling af området 5

I det følgende afsnit vil lokalplanen for området ved Strøybergs Palæ beskrives, da denne sammen med kommuneplanen indeholder en række informationer om Strøybergs Palæ, og fastsætter rammerne for den kommende tilbygning.

Til sidst vil der foretages en sammenligning mellem den førhen gældende lokalplan for området og den nuværende lokalplan, for at undersøge, hvilke ændringer der har været nødvendige at foretage, for at kunne realisere tilbygningen til Strøybergs Palæ.

5.1 Lokalplan

En lokalplan tager udgangspunkt i en fremsat kommuneplan, og har til formål at styre udviklingen i et område. Lokalplanen skal give borgerne og byrådet et indblik i et bestemt område og give dem mulighed for at komme med tiltag til den fremlagte plan. Her fastsætter byrådet rammerne for, hvordan arealer, bygninger, beplantning, veje, stier m.fl. skal anlægges i et givent område. Lokalplaner skal ifølge planloven udformes af byrådet, der har pligt til dette, før der kan gennemføres større bygge- og anlægsprojekter [Kommune, Oktober 2012, s. 4].

En lokalplan indeholder punkterne; redegørelse, planbestemmelser og bilag [Kommune, Oktober 2012, s. 4].

Planen starter med en redegørelse, hvor lokalplanens baggrund og formål fastsættes og hele indholdet fremlægges. Der bliver også redegjort for miljømæssige forhold, hvordan lokalplanen forholder sig til andet byggeri, og om der kræves tilladelser eller anden slags dispensationer fra forskellige myndigheder.

I lokalplanen informeres der om planbestemmelser, som er områdets fremtidige anvendelse. Dette illustreres via tekst og billeder.

Til sidst i lokalplanen ligger alle bilagene. Disse består oftest af forskellige kort (matrikelkort, arealanvendelseskort m.m.) samt forskellige tabeller omkring støj fra erhverv og trafik m.m. Bilagene er med til at uddybe og illustrere lokalplanbestemmelserne.

Byrådet kan til enhver tid udarbejde et lokalplanforslag. Når et forslag til lokalplanen er udformet, skal det offentliggøres i mindst otte uger, hvor borgerne kan komme med indsigelser eller forslag til ændringer. Efter de otte ugers offentliggørelse bedømmes byrådet, hvorvidt eventuelle indsigelser eller ændringer vil blive taget op. Dernæst vedtages planen, hvor den bekendtgøres i avisens og er hermed bindende for ejendommene, som ligger i lokalplanområdet.

Der må ikke laves ændringer i området i strid med lokalplanen, dog må eksisterende bygninger og anvendelse, der er etableret før lokalplanforslagets offentliggørelse, fortsætte.

Endvidere er der ikke pligt til at gennemføre tiltag, der beskriver lokalplanen [Kommune, Oktober 2012, s. 4].

5.2 Lokalplan 1-1-107

Lokalplan 1-1-107 er lokalplanen for området ved Strøybergs Palæ. Lokalplanen er vedtaget af Aalborg Byråd den 12. november 2012, og offentligt bekendtgjort den 21. november 2012 [Kommune, Oktober 2012, s. 20].

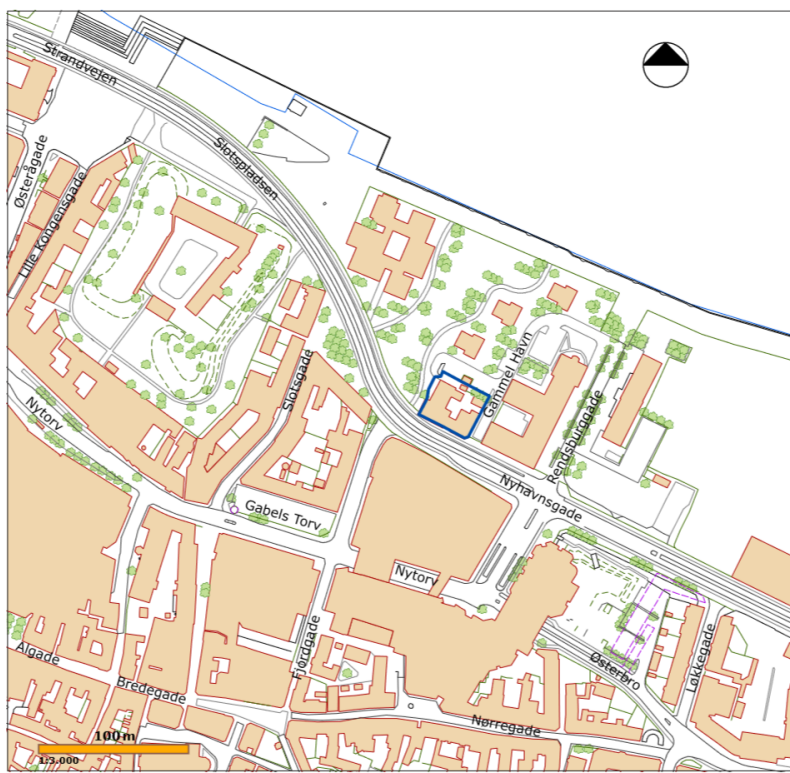
Området for lokalplanen er ca. 1.200 m², og ligger ca. 100 m fra Limfjorden. Øst for lokalplanområdet ligger Gammel Havn, mod nord og vest ligger Utzon Parken og mod syd Nyhavnsgade. Ud over Strøybergs Palæ, der ligger i planområdet, er der også enkelte mindre bygninger, garager m.m. For at lokalplanen kan blive realiseret, skal mindre bygninger nedrives, hvis de ikke er bevaringsværdige [Kommune, Oktober 2012, s. 6]. Området, som lokalplanen dækker, ses på Figur 5.1.

Lokalplanen er udarbejdet med et ønske om, at lave en tilbygning til Strøybergs Palæ, hvor anvendelsesmulighederne i området således vil blive ændret til beboelse, serviceerhverv og kontorerhverv. Lokalplanen er udformet således, at den tager hensyn til, at den nye bebyggelse udformes efter den eksisterende bevaringsværdige bygning, eventuelt med et nutidigt arkitektonisk udtryk, således der er harmoni mellem den nuværende bygning og tilbygningen. Her tages der hensyn til bygningsskala, facadertyme og farve, da Strøybergs Palæ er vurderet til at være en bevaringsværdig bygning med en bevaringsværdi 4, som er middelværdi [Kommune, Oktober 2012, s. 5 og 9]. Bevaringsværdien bestemmes på baggrund af fem værdier; arkitektonisk værdi, kulturhistorisk værdi, miljømæssig værdi, originalitet og tilstand, hvor vurderingen er givet i forhold til helhedsindtrykket af bygningens kvalitet og tilstand, dog vil den arkitektoniske- og den kulturhistoriske værdi veje tungest for bevaringsværdien. Bygninger med bevaringsværdi 2-4 er bygninger, som er fremtrædende grundet deres arkitektur, kulturhistorie og håndværksmæssige udførelse [Kulturstyrelsen, a]. Lokalplanen fortæller desuden, at tage skal udføres som saddeltage eller som flade tage [Kommune, Oktober 2012, s. 17].

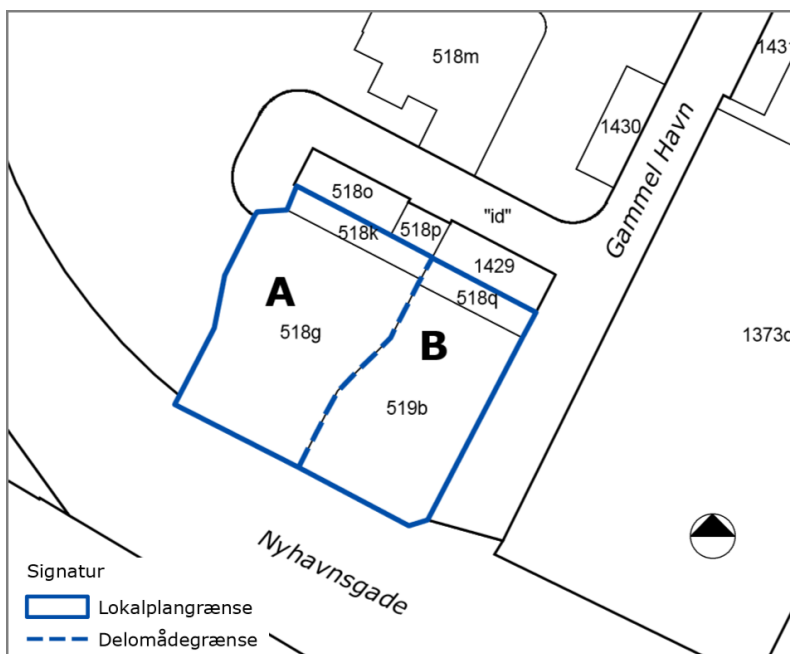
Lokalplanen indeholder to delområder, hvor delområde B er hovedbygningen af Strøybergs Palæ, mens delområde A er sidebygningen dertil og et byggefelt liggende mod nord, hvilket er illustreret på Figur 5.2. Inden for delområde A må ny bebyggelse opføres i 4 etager, samt en tagetage, og med en kælder maksimalt 1,25 m over terræn, som kan anvendes til parkering, depot og lignende. Inden for delområde B må ny bebyggelse opføres i 3 etager samt en tagetage og med en kælder maksimalt 2 m over terræn. I alt må tilbygningen højest være 19 m høj [Kommune, Oktober 2012, s. 7 og 16].

Da lokalplanområdet ligger meget kystnært skal der i større grad dimensioneres efter klimatiske faktorer og ændringer. Her er hovedpunktet vandstandsstigning. Her tages der udgangspunkt i Aalborg Kommunes klimastrategi. Den forudsiger, at den generelle indre vandstand i nordjyske farvande vil kunne stige med op til 1 m. Derfor er der fastsat en minimum sokkelkote for stueplan på nye bygninger på 2,36 m DVR 90 grundet risikoen for vandstandsstigning [Kommune, Oktober 2012, s. 9].

Bygningen ligger placeret tæt op ad detailhandel og erhverv. Området benyttes af kollektiv trafik. Da bygningen ligger placeret ved Nyhavnsgade, kan dette give støjgener fra trafikken. Derfor skal der tages højde for dette, når der bygges. Det indendørs støjniveau



Figur 5.1. Lokalplan 1-1-107, lokalplanområde [Kommune, Oktober 2012, s. 40]



Figur 5.2. Lokalplan 1-1-107, delområde A og B [Kommune, Oktober 2012, bilag 1, s. 33]

må ikke overstige L_{den} 33 dB, og ved udendørs opholdsarealer må den ikke overstige L_{den} 58 dB. Støjisolering skal primært ske indvendigt, så bygningen ikke ændrer udseende. Overholdelse af de forskellige grænseværdier for støj skal kunne dokumenteres, før bygningen må tages i brug [Kommune, Oktober 2012, s. 8]. Området er kortlagt på vidensniveau 1 og 2 efter jordforureningsloven. Et areal bliver kortlagt på vidensniveau 1, hvis der er kendskab til aktiviteter, der kan forårsage forurening på arealet. Det vil blive kortlagt på vidensniveau 2, hvis der er dokumentation for forurening i jord og grundvand på arealet [Miljøministeriet, b]. Hvis der i forbindelse med bygge- og anlægsarbejde konstateres tegn på jordforurening, skal arbejdet standses og kommunens Teknik- og Miljøforvaltning skal underrettes. Herefter vurderes det, om der skal fastsættes vilkår, inden arbejdet kan genoptages [Kommune, Oktober 2012, s. 10].

Lokalplanen skal udarbejdes i samspil med den nuværende kommuneplan og anden fysisk planlægning i området omkring. Planen er, at der i lokalplanens område kan indrettes et mindre antal boliger. Det forventes at Aalborg Midtby får etableret 2.116 nye boliger i perioden 2008-2019. I bygningen kan desuden etableres butikker på maksimalt $250\ m^2$ og $500\ m^2$ pr. etage jf. kommuneplanen [Kommune, Oktober 2012, s. 8].

5.2.1 Fra gammel til ny lokalplan

I kraft med vedtagelsen af lokalplan 1-1-107 ophæves lokalplanen 10-082 for det område, som lokalplan 1-1-107 omfatter. På trods af, at de to lokalplaner omfatter to forskellige områdestørrelser, så er lokalplanerne fortsat ens på flere punkter, heriblandt miljøforholdene for området. Der er dog nogle små forskelle, og disse forskelle vil blive analyseret i det følgende afsnit. Nedenfor på Figur 5.3 ses lokalplanområdet for lokalplan 10-082.



Figur 5.3. Tidligere gældende lokalplan, 10-082, for området [Kommune, August 2006, s. 17]

I lokalplan 10-082 kan ny bebyggelse for området Strøybergs Palæ bygges i 4 etager samt tagetage med en maksimal højde på 22 m [Kommune, August 2006, s. 19], hvor der i lokalplan 1-1-107 kan bygges i op til 3 etager samt tagetage for ny bebyggelse med en

maksimal højde på 19 m. Denne ændring i højden kan skyldes, at der har været indsigelser imod de 22 m, da dette muligvis ville fjerne en udsigt eller sollys for de berørte personer.

Der er i lokalplan 1-1-107 ligeledes taget højde for vandstandsstigning i Limfjorden, hvilket ikke er gjort i lokalplan 10-082. Grunden til dette kan skyldes, at der ikke tages højde for detaljerne, da lokalplan 10-082 foruden Strøybergs Palæ indeholder tiltag til Utzon Centeret, Slotspladsen og First Slotshotel.

Ligeledes bliver der præciseret i lokalplan 1-1-107, at isolering for trafikstøj ikke må ændre på facadens udseende, hvor der i lokalplan 10-082 blot står, at enhver ændring på bygningens facade kræver en tilladelse [Kommune, August 2006, s. 19]. En grund til at der først i lokalplan 1-1-107 står beskrevet, hvordan isoleringen skal foretages samt at facadeændringer kræver en tilladelse, kan være, at lokalplan 10-082 dækker over et større område end 1-1-107, og at detaljerne på tilbygningen dermed først er relevant for lokalplan 1-1-107.

For ny bebyggelse og nye tilbygninger, som er omfattet af lokalplan 1-1-107, gælder det, at nye bygninger skal opføres i overensstemmelse med den eksisterende bebyggelse, dog gerne med nutidig arkitektonisk formsprog. Tilbygninger skal opføres i tilknytning til den eksisterende bevaringsværdige bygning, og skal derfor have det samme arkitektoniske udtryk, som bygningen i forvejen har [Kommune, Oktober 2012, s. 7].

Dette punkt i lokalplanen forklarer de overordnede rammer for ny bebyggelse og tilbygning, men uover dette, er det mere frit for det pågældende rådgivningsfirma, at designe og konstruere de pågældende bygninger. De skal blot overholde lokalplanens givne rammer, hvorefter det kan diskuteres og fortolkes, hvor og hvornår grænsen for det arkitektoniske udtryk overskrides. Denne balance er derfor mest op til det rådgivende ingeniørselskab at fortolke.

5.3 Delkonklusion

Der er i de foregående afsnit redejst for Aalborgs historie og baggrunden for byens udvikling. Ligeledes er der beskrevet, hvad en kommuneplan og lokalplan er, og der er lavet en dybdegående analyse af Aalborgs kommuneplan, med særligt fokus på Vækstaksen. Inden for vækstaksen ligger Strøybergs Palæ, som hører under den nuværende lokalplan 1-1-107, hvilken også er behandlet, analyserset og sammenlignet med den tidligere lokalplan for området, 10-082. Endelig er der foretaget en diskussion, hvor spørgsmålet stilles, hvorfor det er godt at udvikle i netop dette område, og derunder hvilken sammenhæng der er mellem Strøybergs Palæ og Vækstaksen.

Kommuneplanen er den overordnede ramme for byens udvikling, mens lokalplanen beskriver et mindre område inden for kommunen, og har til formål at styre udviklingen af dette. Aalborg Kommune er vokset som by gennem tiden, og gennem den nuværende kommuneplan har kommunen en målsætning om, at blive Nordjyllands Vækstdynamo og blive en by med fokus på udvikling af studerende, erhverv, kultur med mere.

Blandt Aalborg Kommunes fem fokuspunkter er det fokuspunktet "Aalborg - den attraktive storby", omhandlende Vækstaksen, der er blevet behandlet. Vækstaksen beskriver et område i Aalborg, hvor der er planer om fremtidig udvikling. Disse områder består i dag af virksomheder, uddannelsesinstitutioner, kulturattraktioner og andre interessepunkter for Aalborg Kommune. Det er netop disse områder, der skal skabe grobund for den fremtidige

vækst i Aalborg, og derfor er det fordelagtigt at udvikle yderligere i netop disse områder.

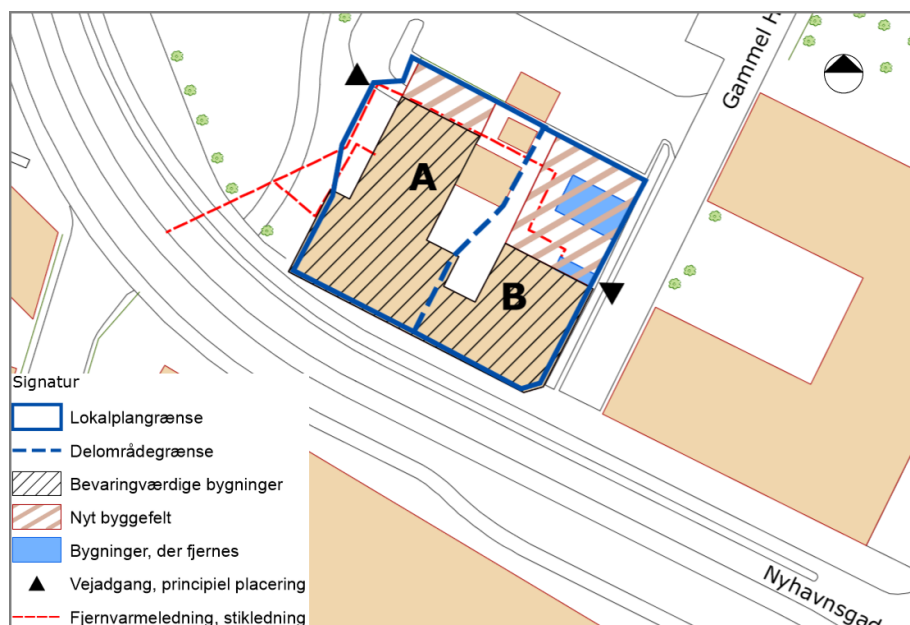
Et af hovedpunkterne i Vækstaksen er, at udvikle Aalborg gennem en byfortætning, hvor målet er at få flere virksomheder og indbyggere til byen. En tilbygning af Strøybergs Palæ vil give ekstra erhvervslokaler og lejligheder, hvilket passer godt sammen med kommunens ønske om byfortætning.

Med en beliggenhed inden for Vækstaksen i et af de områder, hvor der er størst mulighed for udvikling, er der grundlag for en udvidelse af Strøybergs Palæ. Derudover har de seneste 10 års udvikling af havnefronten, givet øget fokus på udviklingen i dette område, hvilket gør området mere attraktivt. Dette er et godt grundlag for at lave en tilbygning, som vil give ekstra plads og bedre forudsætninger for udviklingen. Tilbygningen kan blandt andet bruges til erhvervslokaler, som kan tiltrække nye virksomheder til områder, og dermed være med til at udvikle byen. Dog vil en mindre udvidelse af Strøybergs Palæ ikke have en stor betydning for Aalborg og dens udvikling, da bygningen kun er en lille del af Vækstaksen.

Dimensionering af stålprofiler

6

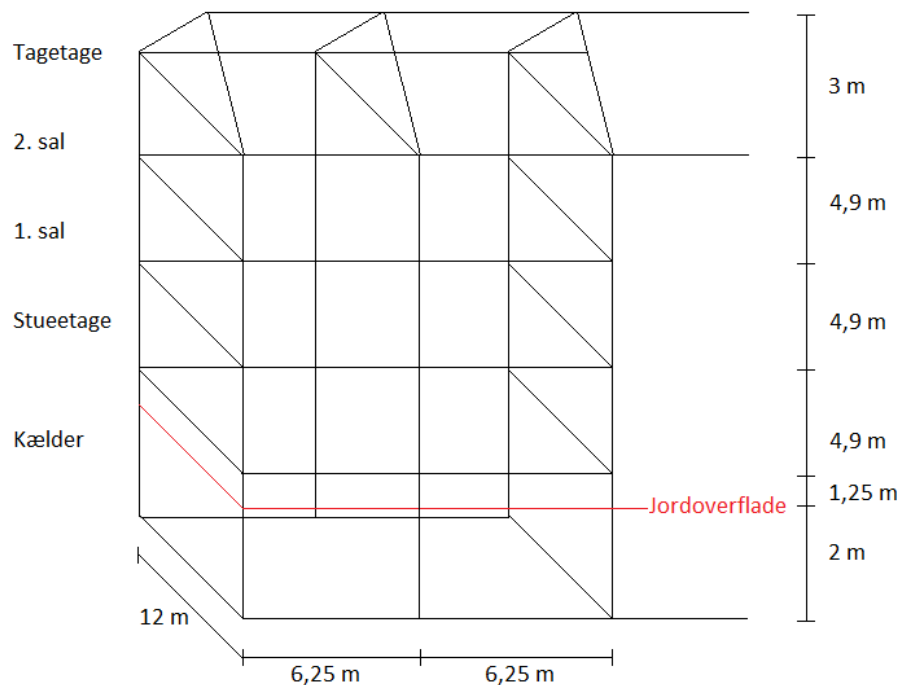
Figur 6.1 viser de nye byggefelter inden for henholdsvis delområde A og delområde B til Strøybergs Palæ ([Kommune, Oktober 2012], s. 16). Denne rapport fokuserer på byggefeltet inden for delområde B, hvor ny bebyggelse, ifølge lokalplan 1-1-107, må opføres i 3 etager samt en tagetage og med en kælder maksimalt 2 m over terræn. Ved opførsel af ny bebyggelse i delområde B, skal to nuværende mindre bygninger fjernes.



Figur 6.1. Lokalplan 1-1-107, delområde A og B [Kommune, Oktober 2012, bilag 2, s. 35]

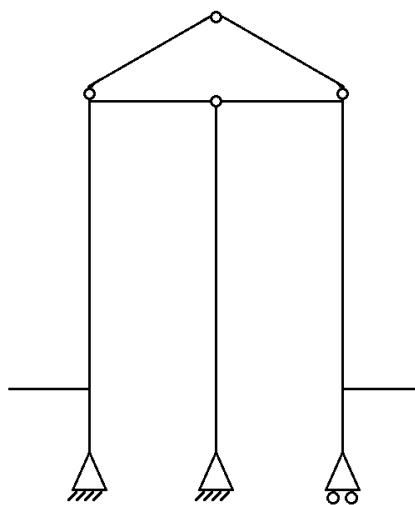
Med udgangspunkt i lokalplan 1-1-107 har bygningen fået de størrelser og dimensioner, som ses på Figur 6.2, som videre beregninger tager udgangspunkt i.

Tilbygningen bliver 12,5 meter lang og 12 meter bred i henhold til den eksisterende bygningsbredde. Kælderen har en højde på i alt 3,25 m, hvor 1,25 m ligger over terræn. Stueetagen, 1. sal og 2. sal har hver især en højde på 4,9 m og tagetagen har en højde på 3 meter med en hældning på 26,6 grader. I alt er tilbygningen 19 m høj over terræn.



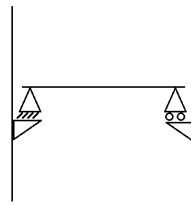
Figur 6.2. Tilbygningens dimensioner

For at kunne beregne de laster som påvirker tilbygningen, er der opstillet et statisk system som ses på Figur 6.3. Systemet er opstillet som en bjælkekonstruktion. Som det ses på Figur 6.2 er der tre stålrammer; en i midten og en i hver af gavlene. I videre beregninger foretages der beregninger for rammen i midten.



Figur 6.3. Statisk system

Etagedækene vil virke som en belastning og ses ikke som en del af konstruktionen. Dette er muligt, da der opsættes en samling mellem etagedækene og stålkonstruktion, som ses på Figur 6.4.



Figur 6.4. Etageovergang på tilbygningen

Ståltypen for det statiske system sættes til at være ståltype S235 med profilnummer 450 [Jensen, 2013].

6.1 Laster

Tilbygningen til Strøybergs Palæ vil blive utsat for en række laster, både permanente og variable laster. Disse vil blive beregnet i dette afsnit, så der kan opstilles lastkombinationer samt beregnes brudgrænse- og anvendelsesgrænsetilstande.

6.1.1 Permanente laster

De permanente laster, der beregnes for tilbygningen af Strøybergs Palæ, er egenlast og jordlast.

6.1.1.1 Egenlast

Når egenlasten skal bestemmes...

Last fra tag

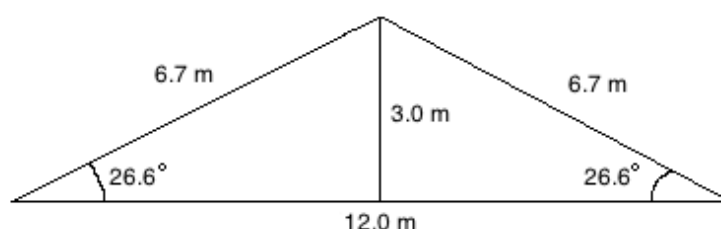
Det antages, at taget er et mellemagtigt sadeltag med teglsten, som har egenvægt $600 \frac{N}{m^2}$ [Spærfabrik, 01-07-2013].

Tagets areal bestemmes ud fra Figur 6.5:

$$A_{tag} = 6,7m \cdot 12,5m \cdot 2 = 167,500m^2$$

Arealet multipliceres med egenvægten for mellemagtigt tag:

$$p_{tag} = 167,500m^2 \cdot 600 \frac{N}{m^2} = 100,500kN$$

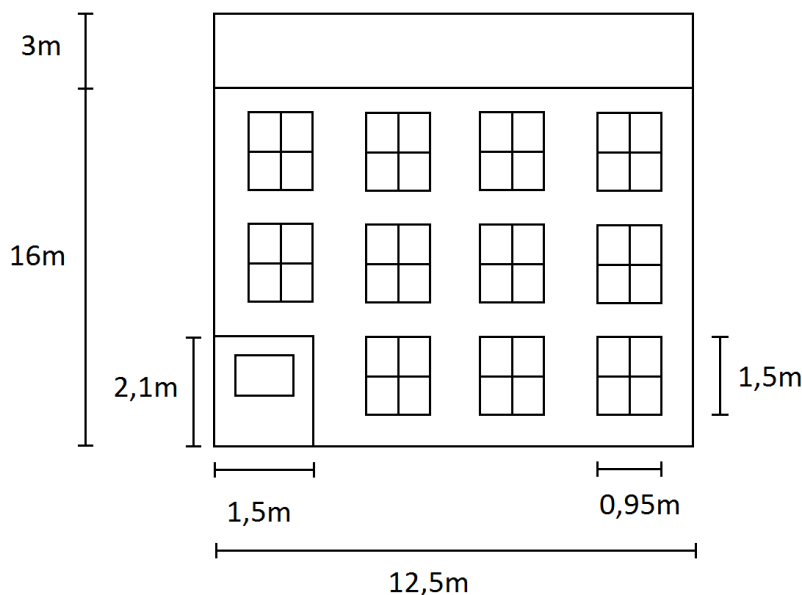


Figur 6.5. Dimensioner for tagetagen

Dermed er lasten fra taget $100,500\text{kN}$, som vil blive brugt til videre beregninger.

Last fra væg

Facaderne antages at være ens samt indeholde lige mange vinduer og døre. Der antages at være 11 vinduer og én dør pr. facade [Kommune, August 2006], hvilket illustreres med mål på Figur 6.6.



Figur 6.6. Facaden på øst- og vestsiden

Til beregning af væggens egenlast skal der påregnes en indervæg og et isoleringslag. Ydervæggen ikke er en del af det statiske system og dermed ikke skal medregnes. Indervæggen bestemmes til at være mursten, mens isoleringen bestemmes til at være rockwool. Tykkelsen og densiteten for mursten og rockwool kan ses i Tabel 6.1.

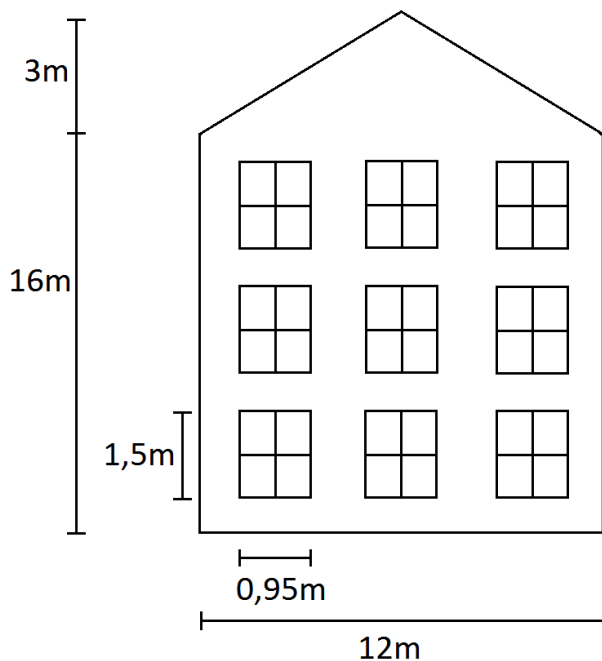
Da den ene gavl ligger op ad den nuværende bygning, antages denne side ikke at belaste det statiske system.

De 9 vinduer på gavlen, der ikke ligger op ad den nuværende bygning, er identiske med dem på facaden, som kan ses på Figur 6.7. Indervæg og isolering for gavlen er ligeledes identisk med facadens.

Når arealet af facaderne beregnes trækkes arealet af vinduerne samt døren fra, da disse antages at belaste ydermuren.

	Densitet, d [$\frac{\text{kg}}{\text{m}^3}$]	Tykkelse, t [mm]
Mursten	1500	130
Rockwool	30	100

Tabel 6.1. Materialer og deres egenskaber for væg [Teknologisk institut] [Frederiksen, 12-06-2008] [Rockwool] [for energibesparelser i bygninger, December 2014]

**Figur 6.7.** Dimensioner for tagetagen

Arealerne og lasten for facaderne og gavlen kan ses i Tabel 6.2, hvor lasten bestemmes ud fra formlen:

$$p = gA \sum dt$$

Last fra gulv

Det antages at bygnings etager kun består af gulv, dvs. ingen skillevægge, trapper m.m. Derfor er den samlede mængde gulv pr. etage:

$$A_{etage} = 12,50m \cdot 12,00m = 150,00m^2$$

Fire ud af fem etager består af bærende gulv. Kælderetagen ligger på fundamentet og regnes derfor ikke som et bærende gulv.

Et bærende gulv antages at bestå af et armeret betondæk nederst, der oftest er mellem 80 mm og 200 mm tyk. Det bestemmes, at den er 120 mm tyk, hvorpå der ligger bjælker. Bjælkernes opgave er at lede og overføre lasterne ud i understøtning. Derefter vil ligge et underguld, mellemguld og til sidst selve gulvbælgningen, og mellem betondækket og

	Areal, A [m ²]	Last, p [kN]
Facade, vest	181,18	352,27
Facade, øst	181,18	352,27
Gavl, nord	197,18	383,38

Tabel 6.2. Areal og last for væg

	Densitet [$\frac{kg}{m^3}$]	Tykkelse [mm]
Beton	2400	120
Rockwool	30	140
Linoleum	2,9	383,38

Tabel 6.3. Materialer og deres egenskaber for gulv

undergulvet lægges isoleringen [Brandt]. Densiteten og tykkelsen af gulvlagene kan ses i Tabel 6.3.

Der er behov for bjælker, som hver er 6,25 m lang, da de er halvdelen af tilbygningens længde, 140,00 mm høj og 140,00 mm bred [Byggeri]. Disse anlægges langs med tilbygningen. For at bestemme hvor mange bjælker, der er behov for, divideres længden af tilbygningen med 400 mm, da der skal være 400 mm imellem hver bjælke [Brandt].

$$\frac{12,50m}{0,40m} = 31,25 \text{ bjælker}$$

Da der ikke kan optræde 31,25 bjælker rundes der op til 32 bjælker.

Rumfanget af de 32 bjælker med længden 12,5 m multipliceres med bjælkens densitet for tørrumvægt af træ [Træteknik], som er $510 \frac{kg}{m^3}$, hvorefter denne værdi multipliceres med tyngdeaccelerationen og multipliceres med 4, da der er fire etager foruden kælderen. Herved findes lasten for bjælkerne:

$$p_{bj\ddot{e}lker} = 7,84m^3 \cdot 510 \frac{kg}{m^3} \cdot 9,82 \frac{m}{s^2} \cdot 4 = 157,06kN$$

Beregning af volumen og last for beton, rockwool og linoleum beregnes på samme måde som for bjælkerne, dog skal bjælkernes volumen trækkes fra ved beregning af værdierne for rockwool. Resultaterne kan ses i Tabel 6.4.

Samlet egenlast eksklusiv tag og stålsystem

De tidligere beregnede værdier adderes;

$$346,932kN + 346,932kN + 5,337kN + 5,337kN + 377,509kN + 5,809kN + 1693,440kN + 157,057kN + 15,508kN + 0,043kN = 2953,904kN$$

Den samlede egenlast deles med 2, da midterrammen optager halvdelen af den beregnede last.

	Volume [m^3]	Last [kN]
Bjælker	31,36	157,06
Beton	72,00	1693,44
Rockwool	52,64	15,51
Linoleum	1,50	0,04

Tabel 6.4. Samlet volumen og last for gulvelementerne

$$\frac{2953,904kN}{2} = 1476,952kN$$

Den midterste stang optager $\frac{1}{2}$ af egenlasten, mens de to yderste stænger hver optager $\frac{1}{4}$, derfor divideres nu med 4.

$$\frac{1476,952kN}{4} = 369,24kN$$

Denne last laves nu om til en linjelast ned langs stængerne, og derfor deles med 18m:

$$\frac{369,24kN}{18m} = 20,51 \frac{kN}{m}$$

Egenlast af stålsystemet

Egenlast stål i tagsystemet:

Densiteten for den anvendte ståltype S235 med profil nr. 450 har densiteten $g = 115 \frac{kg}{m}$ [Jensen, 2013]. Dette skal ganges med højden af sadeltaget, som er 6,7m og omregnes efterfølgende til KiloNewton.

$$115 \frac{kg}{m} \cdot 6,7m = 771,42kg$$

$$771,42kg \cdot 9,82 \frac{m}{s^2} = 7,5753444kN$$

Denne værdi skal ganges med to, da der går to stålstænger op ved taget:

$$7,58kN \cdot 2 = 15,1506888kN$$

Stålsystem eksklusiv tag:

Stålstyrken antages igen at være S235, som har densiteten $g = 115 \frac{kg}{m}$ [Jensen, 2013]. For at finde kraften af en enkelt lodret stang multipliceres denne med højden af bygningen, som er 18 m, inklusiv kælderen.

$$115 \frac{kg}{m} \cdot 18m = 2070kg$$

$$2070kg \cdot 9,82 \frac{m}{s^2} = 20,33kN$$

Dette skal omregnes til at blive en linjelast og der divideres derfor med højden igen:

$$\frac{2033kN}{18m} = 1,13 \frac{kN}{m}$$

Det samme skal gøres for at finde kraften for en vandret stang, og densiteten skal her ganges med længden af den vandrette bjælke, som er 6 m.

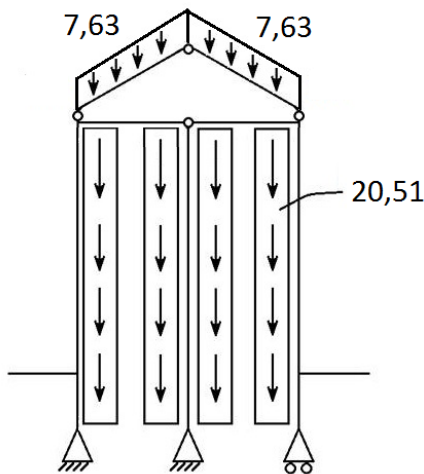
$$115 \frac{kg}{m} \cdot 6m = 690kg$$

$$690kg \cdot 9,82 \frac{m}{s^2} = 6,78kN$$

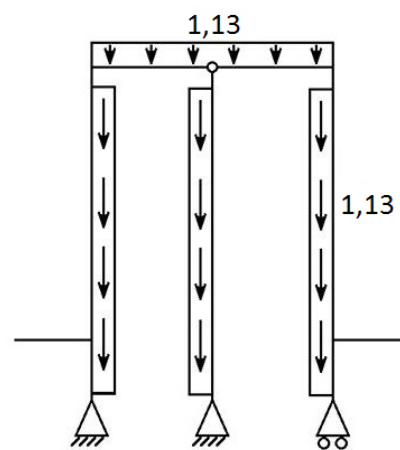
Dette skal omregnes til at blive en linjelast og der divideres derfor med længden af den vandrette stang: $\frac{6,78kN}{6m} = 1,13 \frac{kN}{m}$

Opsamling

Nu er alle karakteristiske egenlaster fra taget, etagedækene samt egenlasten fra bjælke-systemet bestemt. Disse placeres nu i det statiske system vidst på Figur 6.8 og 6.9.



Figur 6.8. Egenlast fra etagedæk angivet i $\frac{kN}{m}$



Figur 6.9. Egenlast fra stålsystemet angivet i $\frac{kN}{m}$

6.1.1.2 Jordlast

Idet tilbygningen har en kælder, der går 2 m under jorden, bliver den påvirket med en jordlast. Jordlasten virker på konstruktionen fra jordoverfladen og nedefter og virker liniært afhængigt af dybden.

Jordlasten beregnes gennem formlen:

$$\sigma_x = k_0 \sigma_z$$

- k_0 : hviletrykskoefficienten, som er givet ved $k_0 = 1 - \sin(\varphi)$, hvor φ er friktionsvinklen. Friktionsvinklen er bestemt igennem fire forsøg, som ses under Afsnit (!!!!!)
- σ_z : den lodrette fladelast i dybden z givet ved $\sigma_z = z\gamma$, hvor z er dybden og γ er rumvægten $[\frac{kN}{m^3}]$

Hviletrykskoefficienten, k_0 bestemmes:

$$k_0 = 1 - \sin(32,33) = 0,47$$

Rumvægten slås op til $20 \frac{kN}{m^3}$ [Jensen, 2013, s. 386] og den lodrette fladelast, σ_z , bestemmes:

$$\sigma_z = z \cdot 20 \frac{kN}{m^3}$$

Nu er hviletrykskoefficienten og fladlasten bestemt, og det betyder, at jordlasten σ_x , i dybderne z for 0 m og 2 m bestemmes:

$$\sigma_x = 0,47 \cdot 0m \cdot 20 \frac{kN}{m^3} = 0 \frac{kN}{m^2}$$

$$\sigma_x = 0,47 \cdot 2m \cdot 20 \frac{kN}{m^3} = 18,61 \frac{kN}{m^2}$$

I og med jordlasten ved 0 m er $0 \frac{kN}{m^2}$, vil den også optræde som en linjelast med værdien $0 \frac{kN}{m}$. Dermed beregnes linjelasten for dybden 2 m, ved at multiplicere med længden, som den virker over, hvilken er 6,25 m:

$$\sigma_{x,linje} = 18,61 \frac{kN}{m^2} \cdot 6,25m = 116,32 \frac{kN}{m}$$

Dermed er jordlasten, som linjelast, i dybderne som ses på Tabel 6.5.

Dybde [m]	0	2
Jordlast $\left[\frac{kN}{m}\right]$	0	116,32

Tabel 6.5. Værdier for jordlasten

For at finde den jordlast der virker over x -antal meter under jorden, opstilles følgende ligning:

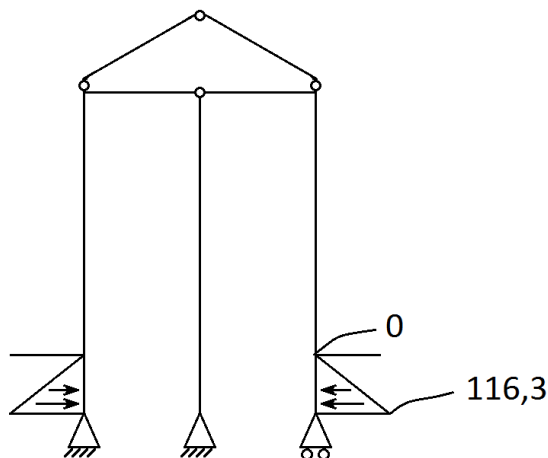
$$w = \frac{1}{2} \cdot x \cdot p$$

- x: længden, som kraften virker over
- p: den største kraft

Herved fås ligningen:

$$w = \frac{1}{2} 116,32 \frac{kN}{m} x = 58,16x$$

Den jordlast der virker på det statiske system er illustreret på Figur 6.10.



Figur 6.10. Jordlast på det statiske system angivet i $\frac{kN}{m}$

6.1.2 Variable laster

Af variable laster opträder snelast, vindlast og nyttelast på bygningen. Disse udregnes efter Dansk Standard Eurocode 1991.

6.1.2.1 Snelast

Til at beregne den karakteristiske snelast anvendes følgende formel:

$$s = \mu_i C_e C_t s_k$$

- μ_i : formfaktoren for snelosten, som sættes til 0,8 [Standard, 2014, tabel 5.2 kapitel 5.3]
- C_e : eksponeringsfaktoren
- C_t : termisk faktor, som sættes til 1,0 [Standard, 2014, kapitel 5.2]
- s_k : karakteristisk terrænværdi, som sættes til $1\frac{kN}{m^2}$ [Standard, 2014, kapitel 4.1]

Eksponeringsfaktoren, C_e , bestemmes ved:

$$C_e = C_{top} C_s$$

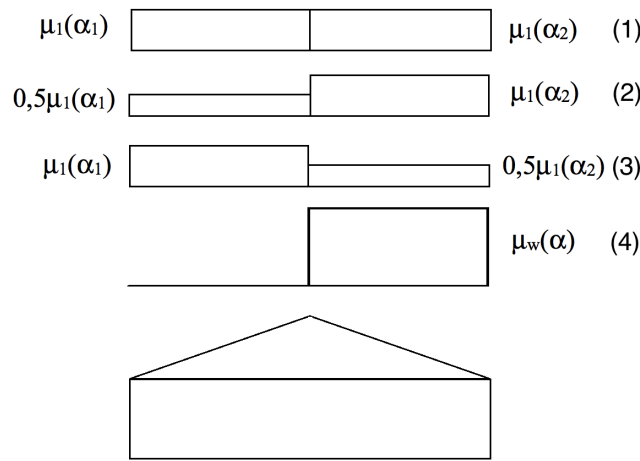
- C_{top} : topografi faktor, som sættes til 1,0 [Standard, 2014, tabel 5.1 kapitel 5.2]
- C_s : størrelse faktor, som sættes til 1,0 [Standard, 2014, kapitel 5.2]

Eksponeringsfaktoren kan nu bestemmes til:

$$C_e = 1,0 \cdot 1,0 = 1,0$$

Strøybergs Palæ har et sadeltag, og dermed skal der tages højde for fire lasttilfælde, som ses på Figur 6.11. Derudover multipliceres snetilfældets værdi med 6,25 m, som er halvdelen af tilbygningens længde, hvilket gøres, da det statiske system er opdelt i tre rammer, for at få værdien ud i $\frac{kN}{m}$.

Snetilfælde 1



Figur 6.11. Fordeling af sne i de fire tilfælde [Standard, 2014, kapitel 5.3.3]

$$s_1 = 0,8 \cdot 1,0 \cdot 1,0 \cdot 1 \frac{kN}{m^2} \cdot 6,25m = 5,0 \frac{kN}{m}$$

Snetilfælde 2 og 3

$$s_2 = \frac{1}{2} \cdot 0,8 \cdot 1,0 \cdot 1,0 \cdot 1 \frac{kN}{m^2} \cdot 6,25m = 2,5 \frac{kN}{m}$$

Snetilfælde 4

Snetilfælde 4 er ophobning, og dermed anvendes en anden formfaktor.

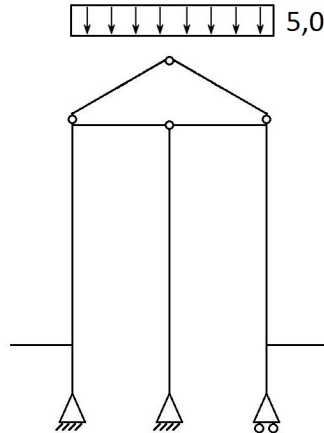
$$s_4 = \mu_w C_e C_t s_k$$

- μ_w : formfaktoren, som sættes til 1,2 eftersom α er $26,56^\circ$ [Standard, 2014, kapitel 5.3.3]

Den karakteristiske snelast for lasttilfælde 4 kan nu bestemmes til:

$$s_4 = 1,2 \cdot 1,0 \cdot 1,0 \cdot 1 \frac{kN}{m^2} \cdot 6,25m = 7,5 \frac{kN}{m}$$

Til videre beregning har projektgruppen valgt at anvende snetilfælde 1, som er illustreret på Figur 6.11. I praksis burde der laves beregninger med samtlige snetilfælde.



Figur 6.12. Snelast på det statiske system angivet i $\frac{kN}{m}$

6.1.2.2 Vindlast

For vindlasten regnes der en nettovindlast, hvilken regnes som summen af den udvendige og den indvendige vindlast.

For Strøybergs Palæ regnes der en nettovindlast for taget og for facaderne på bygningen, hvilket gøres for tre vindretninger, nord, øst og vest, da sydsiden af tilbygningen kommer i forlængelse af den allerede eksisterende bygning, og derfor formodes denne vindlast ikke at have en særlig betydning for tilbygningen.

Til at bestemme vindlasten på tilbygningens udvendige sider anvendes følgende formel:

$$w_e = q_p(z_e)c_{pe}$$

- q_p : peakhastighedstrykket
- z_e : referencehøjden for det udvendige vindtryk, som er 19 m for taget og 16 m for facaderne
- c_{pe} : formfaktoren for det udvendige vindtryk

Til at bestemme vindlasten på tilbygningens indvendige sider anvendes følgende formel:

$$w_i = q_p(z_i)c_{pi}$$

- q_p : peakhastighedstrykket
- z_i : referencehøjden for det indvendige vindtryk, som sættes lig det udvendige for hhv. tag og facader z_e [Standard, 2014, kapitel 7.2.9]
- c_{pi} : formfaktoren for det indvendige vindtryk

I Bilag A ses et beregningseksempel på bestemmelse af peakhastighedstrykket, q_p , og i Tabel 6.6 ses værdierne for peakhastighedstrykket for alle tre vindretninger ved højderne 16 m og 19 m.

Peakhastighedstrykket skal nu anvendes, for at bestemme vindlasten på taget fra de tre vindretninger.

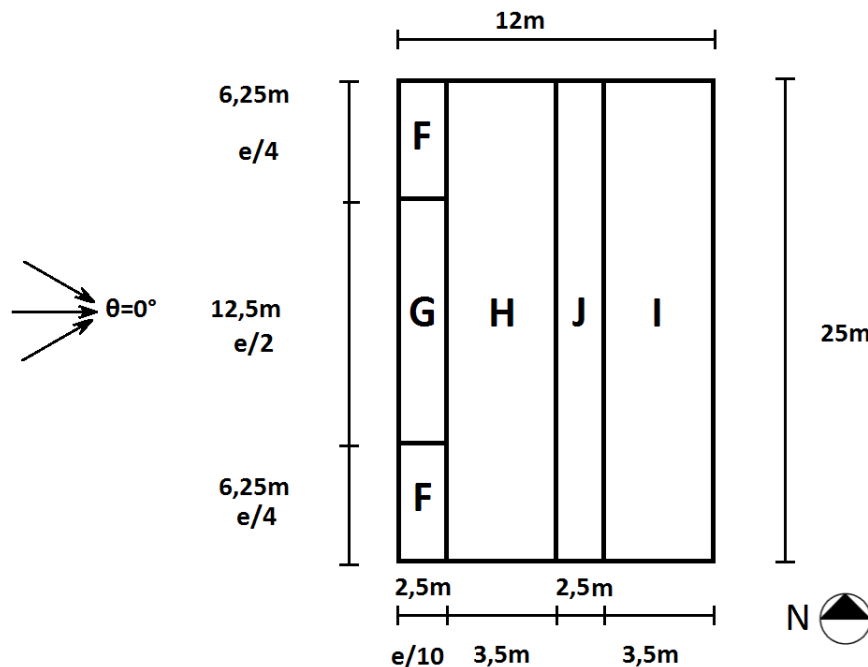
Vindretning/Højden	$q_p \left[\frac{kN}{m^2} \right]$ ved 16 m	$q_p \left[\frac{kN}{m^2} \right]$ ved 19 m
Vest	0,536	0,579
Øst	0,428	0,463
Nord	0,428	0,463

Tabel 6.6. Værdier for $q_p \left[\frac{kN}{m^2} \right]$

Vindtryk på tag

Først bestemmes de karakteristiske vindlaster ved at opstille en række vindtilfælde for henholdsvis tryk og sug. Tryk regnes altid positiv, da denne virker mod taget, og sug regnes altid negativ, da denne virker væk fra taget.

Da tilbygningen til Strøybergs Palæ får et sadeltag, anbefales det at dele taget ind i zoner efter Eurodecode 1991. Bygningen tegnes i fuld størrelse, hvor længden e er 25 m, og derfor er den nuværende bygning også medregnet i målene. For vindretningen $\theta = 0^\circ$ (gælder for vindretning fra vest og fra øst) skal bygningen deles ind som vist på Figur 6.13.



Figur 6.13. Opdeling af bygning, for vindretning fra øst og vest [Standard, 2014, kapitel 7.2.5]

Formfaktorerne, c_{pe} , for tagets zoner bestemmes ud fra Eurocode 1991. Her anvendes taghældningen på $\alpha = 26,56^\circ$, og der laves derfor lineær regression mellem c_{pe} værdierne for vinklerne 15 og 30 grader, efter anbefaling af Eurocode 1991 [Standard, 2014, tabel 7.4a kapitel 7.2.5]. For $\theta = 0^\circ$ skifter trykket hurtigt mellem positive og negative værdier i vindsiden, ved en taghældning mellem $\alpha = -5^\circ$ til $+45^\circ$, og derfor skal der regnes for både positive og negative formfaktorværdier.

Nedenfor er et beregningseksempel for beregning af formfaktoren.

Zone F for vind fra vest

Ud fra Eurocode 1991 [Standard, 2014, tabel 7.4a kapitel 7.2.5] er de negative værdier for zone F: -0,9 og -0,5. Her ud fra laves lineær regression, og $c_{pe,10,neg}$ bestemmes:

$$f(\alpha) = 0,0267\alpha - 1,3 \rightarrow c_{pe,10,neg} = -0,592$$

De positive værdier for zone F er: 0,2 og 0,7. Her ud fra fås ligningen, og $c_{pe,10,pos}$ bestemmes:

$$f(\alpha) = 0,0333\alpha - 0,3 \rightarrow c_{pe,10,pos} = 0,585$$

De beregnede værdier for formfaktorerne ses i Tabellerne; 6.7 og 6.8.

De udvendige vindtryk beregnes ved formlen, som tidligere vist:

$$w_e = q_p(z_e)c_{pe}$$

Disse værdier findes alle i Bilag - HUSK REFERENCE!

De indvendige vindtryk skal nu bestemmes, da de virker på samme tid som de udvendige vindtryk.

Der findes to måder til bestemmelse af formfaktoren, c_{pi} , for indvendig vind. I dette projekt anvendes den forsimplede metode, hvor c_{pi} regnes til at være den mindst gunstige af + 0,2 og - 0,3 [Standard, 2014,Kapitel 7]. Værdierne for formfaktoren ses i Tabellerne 6.7 og 6.8.

Herefter kan de indvendige vindtryk beregnes ved formlen, som tidligere vist:

$$w_e = q_p(z_e)c_{pi}$$

Zone/Formfaktor	$c_{pe,10udvendig}$		$c_{pe,10indvendig}$	
	Positiv	Negativ	Positiv	Negativ
F	0,585	-0,592	0,200	-0,300
G	0,585	-0,569	0,200	-0,300
H	0,354	-0,223	0,200	-0,300
I	0	-0,400	0,200	-0,300
J	0	-0,615	0,200	-0,300

Tabel 6.7. Værdier for $c_{pe,10}$ på udvendige og indvendige tagoverflader for vind fra vest og øst, vindretning $0^\circ = 180^\circ$ på taget

For at bestemme nettovindtrykket skal der opstilles en række tilfælde for, hvordan det udvendige vindtryk og det indvendige vindtryk kan optræde.

Der opstilles fire vindkombinationer for hver vindretning:

Zone/Formfaktor	$c_{pe,10udvendig}$	$c_{pe,10indvendig}$	
	Negativ	Positiv	Negativ
F	-1,146	0,200	-0,300
G	-1,377	0,200	-0,300
H	-0,754	0,200	-0,300
I	-0,500	0,200	-0,300

Tabel 6.8. Værdier for $c_{pe,10}$ på udvendige og indvendige tagoverflader for vind fra nord, vindretning 90° på taget

1. Tryk udvendigt på FGH + sug for JI og invendigt sug
2. Tryk udvendigt på FGH + sug for JI og invendigt tryk
3. Sug udvendigt for FGH + tryk på JI og invendigt sug
4. Sug udvendigt for FGH + tryk på JI og invendigt tryk

Nedenfor laves et beregningseksempel med vind fra vest med vindkombination 1 for zone F. De resterende værdier kan ses i Tabel 6.9.

Enheden skal være $[\frac{kN}{m}]$, og derfor multipliceres med længden mellem hver af vores stænger, som er 6,25 m. Se Figur 6.2.

$$w_F = (w_{e,F} - w_{i,F}) \cdot 6,25m$$

- $w_{e,F}$: udvendigt vindtryk for zone F = $0,339 \frac{kN}{m^2}$
- $w_{i,F}$: indvendigt vindtryk for zone F = $-0,174 \frac{kN}{m^2}$

$$w_F = (w_{e,F} - w_{i,F}) \cdot 6,25m = (0,339 \frac{kN}{m^2} - (-0,174 \frac{kN}{m^2})) \cdot 6,25m = 3,203 \frac{kN}{m}$$

For alle vindretningerne anvendes vindkombination 1 til videre beregning, og disse laster ses i Tabel 6.9.

Zone/Vindretning, w $[\frac{kN}{m}]$	Vest	Øst	Nord
F	3,203	2,563	-2,445
G	3,203	2,563	-3,804
H	2,367	1,893	-1,314
I	-0,362	-0,289	-0,579
J	-1,138	-0,910	-

Tabel 6.9. Værdier for netto vindtryk på taget

Fra Tabel 6.9 ses, at værdierne for vest er større i forhold til værdierne for øst. Det formodes derfor, at vindlasten er mere kritisk ved vind fra vest, og der ses fremover bort fra vinden fra øst i projektet. I tabellen ses det ligeledes, at værdierne for nord alle er negative, hvilket skyldes at vinden fra nord kun kan påvirke taget med sug, og dermed ses der i denne rapport også bort fra denne.

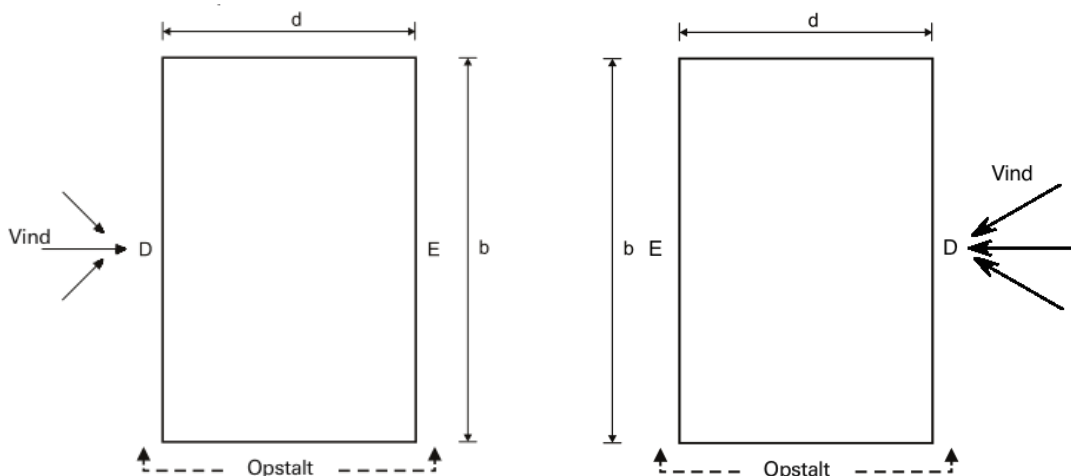
Derfor anvendes værdierne for vest til de videre beregninger, når der skal opstilles lastkombinationer vindlasten for taget.

Vindtryk på facaderne

Vinden vil også påvirke Strøybergs Palæ på dens facader og endegavle, og derfor skal vindlasten også beregnes for de lodrette vægge af bygningen.

Nettovindtrykket på facaderne beregnes på samme måde som nettovindtrykket for taget, dog tages der udgangspunkt i [Standard, 2014, tabel 7.1]. Længden af bygningens facader skal anvendes, og igen bruges den fulde længde af bygningen, der består af den nuværende bygning samt tilbygningen, hvilket giver længden 25 m.

For vindretning $\varphi = 0^\circ$ for vind fra vest og $\varphi = 180^\circ$ for vind fra øst gælder at $b = 25$ m, $d = 12$ m og højden $h = 16$ m. Bygningen skal igen opdeles i nogle zoner, både for vind fra vest, øst og nord, hvor zonerne D og E ses på Figur 6.14 og 6.15, mens zonerne A, B og C kan ses i Eurocode 1991 [Standard, 2014, kapitel 7.2.2 figur 7.5].



Figur 6.14. Vind på facaden fra vest [Standard, 2014, 7.2.2]

Figur 6.15. Vind på facaden fra øst [Standard, 2014, 7.2.2]

Igen regnes der først en udvendige vindlast på facaderne og derefter en indvendig vindlast på facaderne, inden der opstilles en række vindkombinationer, hvor nettovindtrykket udregnes. For vindkombinationerne ses der bort fra siderne A, B og C, da den midterste ramme ligger 6,25 meter inde i konstruktionen og derfor ikke ligger i zonerne A, B eller C:

1. Tryk udvendigt på D og sug indvendigt
2. Sug udvendigt på E og sug indvendigt
3. Tryk udvendigt på D og tryk indvendigt
4. Sug udvendigt på E og tryk indvendigt

Der arbejdes videre med vindkombination 1, hvor den udvendige vind virker som tryk på siden D og sug på siden E og med en indre vindlast som sug.

Værdierne for nettovindtrykket kan ses på Figur 6.12.

Ud fra Tabel 6.12 ses det, at værdierne for vest er størst. Det formodes igen, at vindlasten derfor er mere kritisk fra vest end for de to andre vindretninger, og der ses fremover bort

Zone/Formfaktor	$c_{pe,10}$ udvendig	$c_{pe,10}$ indvendig	
		Positiv	Negativ
A	-1,200	0,200	-0,300
B	-0,800	0,200	-0,300
D	0,800	0,200	-0,300
E	-0,517	0,200	-0,300

Tabel 6.10. Værdier for $c_{pe,10}$ for vind fra vest og øst

Zone/Formfaktor	$c_{pe,10}$ udvendig	$c_{pe,10}$ indvendig	
		Positiv	Negativ
A	-1,200	0,200	-0,300
B	-0,800	0,200	-0,300
C	-0,500	0,200	-0,300
D	0,752	0,200	-0,300
E	-0,404	0,200	-0,300

Tabel 6.11. Værdier for $c_{pe,10}$ for vind fra nord

Zone/Vindretning, w [$\frac{kN}{m}$]	Vest	Øst	Nord
D	3,686	2,946	2,142
E	-0,726	-0,580	-0,953

Tabel 6.12. Værdier for nettovindtryk på siderne

fra vinden fra nord og øst. Derfor anvendes lasterne for vest videre i lastkombinationerne, når der skal opstilles lastkombinationer for siden af bygningen.

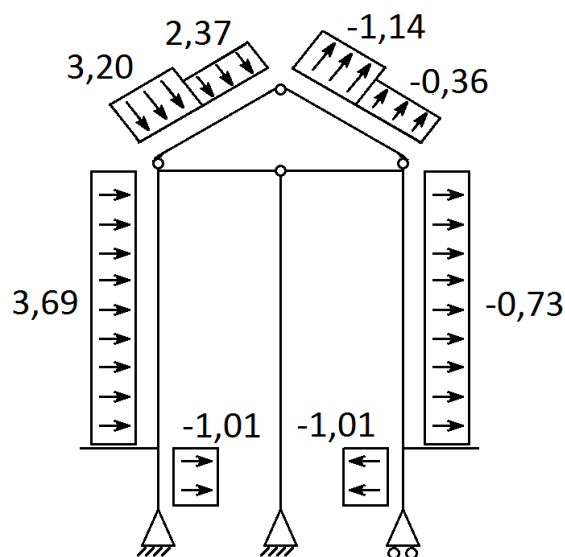
Disse linjelaster virker på højden af facaderne, der er siderne D og E, som hver er 16 m høje.

Opsummering

Det er nu bestemt i denne rapport, at der fokuseres på vind fra vest, hvor der optræder forskellige udvendige laster, mens den indre altid optræder som sug. Lasterne er omregnet til linjelaster ved at multiplicere med afstanden mellem rammerne, hvilken er 6,25 m.

Systemet betragtes, hvor der laves beregninger for rammen i midten af konstruktionen, hvilken ligger 6,25 m inde på konstruktionen. Det betyder, rammen ligger mellem zone F og G (se Figur 6.13). Derfor udregnes et gennemsnit mellem værdierne for zonerne F og G ved vind på taget, da zonen E for siderne gælder for hele facaden. Dog ses det, at værdierne F og G for taget er ens, og dermed er gennemsnitsværdien lig med værdierne for F og G.

De vindlaster der virker på det statiske system, som anvendes til videre beregninger, er illustreret på Figur 6.16.

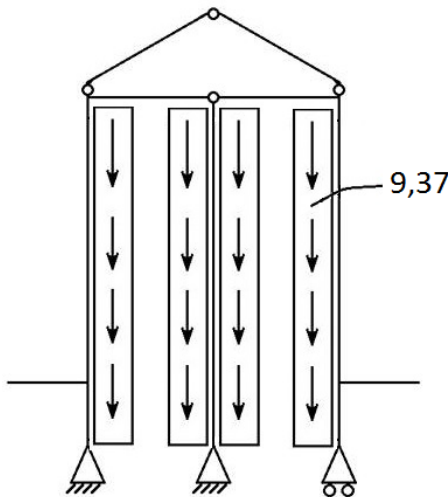


Figur 6.16. Vindlast på det statiske system angivet i $\frac{kN}{m}$

6.1.2.3 Nyttelast

Ud fra Eurocode 1991 aflæses den jævnt fordelede last, q_k , for kategori A1, som er bolig og lokale adgangsveje, til $1,5 \frac{kN}{m^2}$ [Standard, 2014, tabel 6.2 kapitel 6.3.1.2]. Lasten omregnes til en linjelast ved at multiplicere med afstanden mellem rammerne på 6,25 m. Hermed fås en linjelast på $9,37 \frac{kN}{m}$.

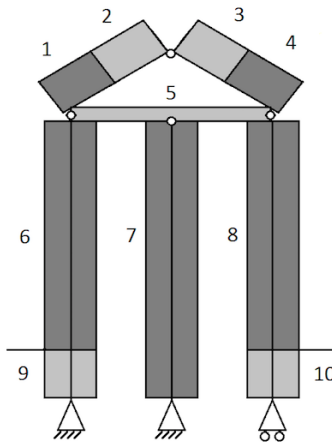
Den nyttelast, der virker på det statiske system er illustreret på Figur 6.17.



Figur 6.17. Nyttelast på det statiske system angivet i $\frac{kN}{m}$

6.2 Lastkombinationer

Den karakteristiske egenlast, jordlast, vindlast, snelast og nyttelast er bestemt for tilbygningen til Strøybergs Palæ. Derfor opstilles en række lasttilfælde, for at finde de regningsmæssige laster, som skal anvendes til beregningerne af reaktioner. Lastkombinationerne opstilles ved at betragte tilbygningen i de områder, som er illustreret på Figur 6.18.



Figur 6.18. Statisk system inddelt i områder

Ved et rigtigt byggeprojekt skal der opstilles lasttilfælde for alle tænkelige scenarier, som kan forekomme. For dette projekt er det dog ikke en mulighed, og derfor er der til videre beregninger valgt at fokusere på vindlast som den dominerende last. Hermed opstilles der følgende lastkombination for hvert område:

$$E_d = \gamma_G K_{FI} G_K + \gamma_{G2} K_{FI} G_{K2} + \gamma_{Q1} K_{FI} Q_{K1} + \gamma_{Q2} \Psi_{0,2} K_{FI} Q_{K2} + \gamma_{Q3} \Psi_{0,3} K_{FI} Q_{K3}$$

- γ_G : Partialkoefficient for permanent last
- K_{FI} : Konsekvensklasse
- G_K : Karakteristisk værdi for permanent last
- γ_Q : Partialkoefficient for variabel last
- Q_K : Karakteristisk værdi for variabel last
- Ψ : Kombinationsværdi af variabel last, som multiplieres den værdi, som ikke er dominerende

Nedenfor gennemgås to beregningseksempler for den regningsmæssige last, med udgangspunkt i henholdsvis område 1 og 6.

I område 1 optræder der vindlast, snelast og egenlast, og beregnes ved følgende:

$$E_d = 1,0 \cdot 1,1 \cdot 8,63 \frac{kN}{m} + 1,5 \cdot 1,1 \cdot 3,20 \frac{kN}{m} + 1,5 \cdot 0 \cdot 1,1 \cdot 5,0 \frac{kN}{m}$$

Herudfra kan egenlasten, der virker per løbende skrå længde, vindlasten, der virker vinkelret på taget, og snelasten, der virker per løbende vandrette længde, for dette område findes:

$$\text{Egenlast} = 1,0 \cdot 1,1 \cdot 8,63 \frac{kN}{m} = 9,49 \frac{kN}{m}$$

$$\text{Vindlast} = 1,5 \cdot 1,1 \cdot 3,20 \frac{kN}{m} = 5,28 \frac{kN}{m}$$

$$\text{Snelast} = 1,5 \cdot 0 \cdot 1,1 \cdot 5,0 \frac{kN}{m} = 0 \frac{kN}{m}$$

I område 6 optræder der vindlast, egenlast fra etagedæk, egenlast fra stålprofiler og nyttelast. Her er egenlasten for etagedæk og egenlasten fra stålprofilerne lagt sammen til $21,64 \frac{kN}{m}$. Lastkombinationen opstilles som følgende:

$$E_d = 1,0 \cdot 1,1 \cdot 21,64 \frac{kN}{m} + 1,5 \cdot 1,1 \cdot 3,68 \frac{kN}{m} + 1,5 \cdot 0,5 \cdot 1,1 \cdot 9,37 \frac{kN}{m}$$

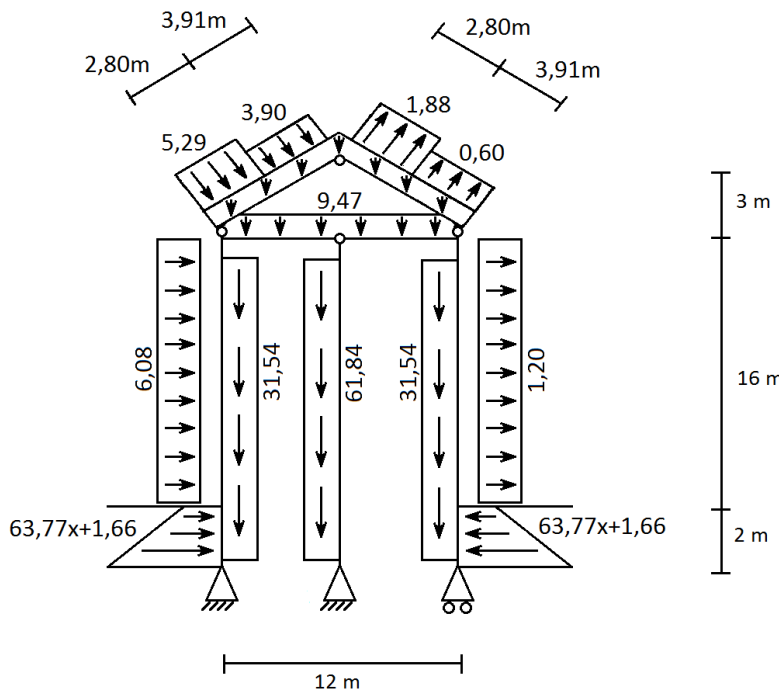
De laster der virker i vandret retning, altså i x-retningen, er vindlast:

$$x - \text{retning} = 1,5 \cdot 1,1 \cdot 3,68 \frac{kN}{m} = 6,08 \frac{kN}{m}$$

De laster der virker i lodret retning, altså y-retningen, er nyttelast, egenlast fra etagedæk samt egenlast fra stålprofiler:

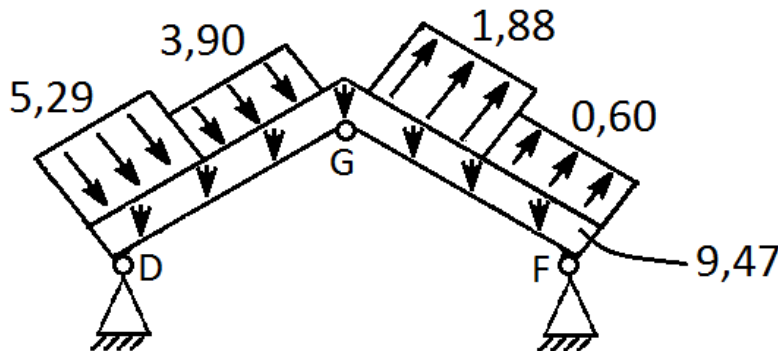
$$y - \text{retningen} = 1,0 \cdot 1,1 \cdot 21,64 \frac{kN}{m} + 1,5 \cdot 0,5 \cdot 1,1 \cdot 9,37 \frac{kN}{m} = 31,54 \frac{kN}{m}$$

Ovenstående beregninger gentages hvor hvert område på konstruktionen, og der er derfor lavet i alt 11 lastkombinationer i dette projekt. De laster der virker på konstruktionen er angivet på Figur 6.19.



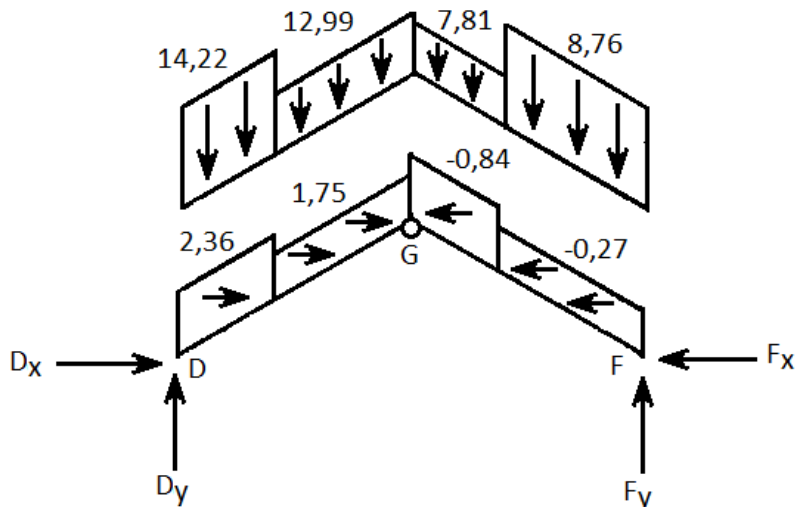
Figur 6.19. Samlede laster på det statiske system med vind fra vest dominerende. Lasterne er angivet i $\frac{kN}{m}$

Taget i bjælkekonstruktionen er forbundet til den resterende del af konstruktionen via charnierled. Lasterne der virker på taget vil dermed kunne overføres til den resterende del af konstruktionen som punktlaster med angrebspunkt i knudepunkterne, hvor charnierledene er. De reaktioner og laster som virker på taget er illustreret på Figur 6.20.



Figur 6.20. Tag med laster og understøtninger. Lasterne er angivet i $\frac{kN}{m}$

Punktlasterne bestemmes gennem de tre ligevægtsligninger, ved at beregne reaktionerne i de to punkter, D og F, som begge er fast simple understøttet. Før reaktionerne bestemmes, skal vindlasten, som virker vinkelret på tagoverfladen, deles op i x- og y-komposanter ved at multiplisere med taghældningen på $26,6^\circ$. Egenlasten virker vinkelret på jordoverfladen, og derfor kun i y-retningen. Når vindlasten er opdelt i x- og y-komposanter, samles lasterne for henholdsvis x- og y-retningen. Fritlegemediagrammet samt de laster på taget, som skal bruges til at finde reaktioner, er illustreret på Figur 6.21.



Figur 6.21. Frilegemediagram. Lasterne er angivet i $\frac{kN}{m}$

Reaktionerne kan dermed beregnes:

Moment om D:

$$-14,221 \frac{kN}{m} \cdot 2,795m \cdot \frac{25m}{2} - 12,986 \frac{kN}{m} \cdot 3,913m \cdot (2,5m + \frac{35m}{2}) - 2,364 \frac{kN}{m} \cdot 2,795m \cdot (\frac{125m}{2}) - 1,746 \frac{kN}{m} \cdot 3,913m \cdot (1,25m + \frac{175m}{2}) - 7,814 \frac{kN}{m} \cdot 2,795m \cdot (6m + \frac{25m}{2}) - 8,960 \frac{kN}{m} \cdot 3,913m \cdot (8,5m + \frac{35m}{2}) - (-0,840 \frac{kN}{m}) \cdot 2,795m \cdot (1,25m + \frac{175m}{2}) - (-0,267 \frac{kN}{m}) \cdot 3,913m \cdot (\frac{125m}{2}) + 12m \cdot f_y = 0 \Leftrightarrow f_y = 66,366kN$$

Lodret ligevægt:

$$-14,221 \frac{kN}{m} \cdot 2,795m - 12,986 \frac{kN}{m} \cdot 3,913m - 7,814 \frac{kN}{m} \cdot 2,795m - 8,960 \frac{kN}{m} \cdot 3,913m + d_y + f_y = 0 \Leftrightarrow d_y = 81,103kN$$

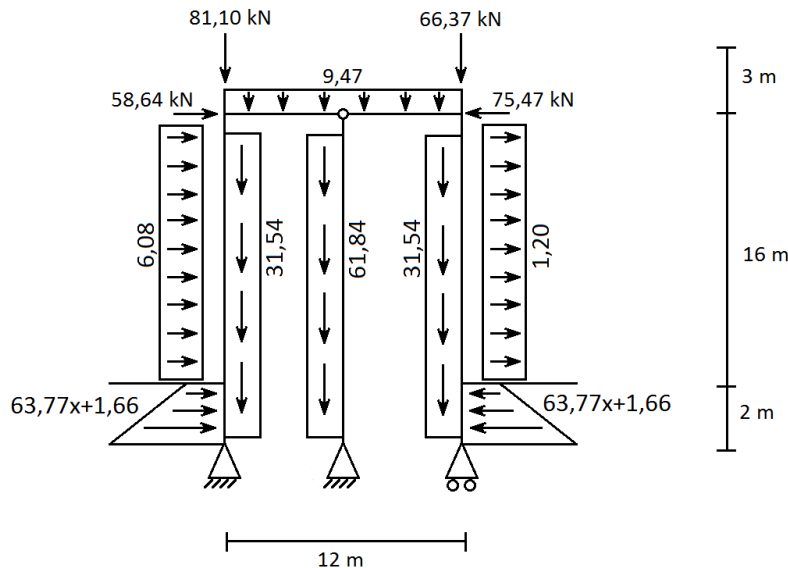
Moment om charnier-led (højre del):

$$-7,814 \frac{kN}{m} \cdot 2,795m \cdot \left(\frac{2,5m}{2}\right) - 8,960 \frac{kN}{m} \cdot 3,913m \cdot \left(2,5m + \frac{3,5m}{2}\right) - (-0,840 \frac{kN}{m}) \cdot 2,795m \cdot \left(\frac{1,75m}{2}\right) - (-0,267 \frac{kN}{m}) \cdot 3,913m \cdot \left(1,75m + \frac{1,25m}{2}\right) + f_y \cdot 6m - f_x \cdot 3m = 0 \Leftrightarrow f_x = 75,474kN$$

Vandret ligevægt:

$$2,364 \frac{kN}{m} \cdot 2,795m + 1,746 \frac{kN}{m} \cdot 3,913m + 0,840 \frac{kN}{m} \cdot 2,795m + 0,267 \frac{kN}{m} \cdot 3,913m - f_x + d_x = 0 \Leftrightarrow d_x = 58,641kN$$

Disse reaktioner virker som punktlast på taget, og det endelige statiske system med de laster der skal bruges til at finde reaktioner for det statiske system, er illustreret på Figur 6.22.



Figur 6.22. Statisk system med punktlaster og linjelaster. Linjelasterne er angivet i $\frac{kN}{m}$

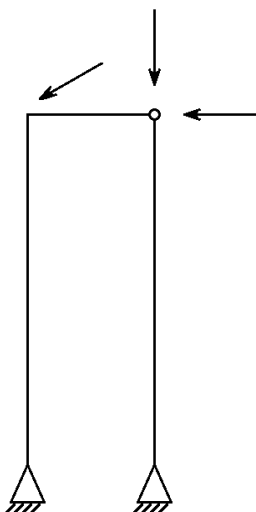
Brudgrænsetilstand

7

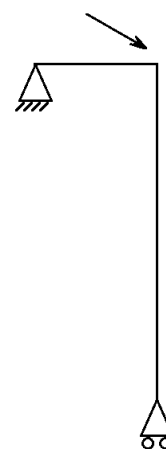
INDLEDNING

7.1 Reaktioner

Når der beregnes reaktionskræfter for de tre understøtninger, er der behov for at opdele konstruktionen. Systemet opdeles i det midterste charnierled i henholdvis en venstre- og højre del, som ses på Figur 7.1 og 7.2. I skæringen mellem de to dele, vil der være snitkræfter men ikke momentkræfter, da momentet i charnierledet er nul. Dermed optræder der kun normalkraften, N , og forskydningskraften, V .



Figur 7.1. Venstre side af systemet



Figur 7.2. Højre side af systemet

Reaktionerne, der vil virke i charnieret, sættes som belastninger på venstre del af systemet.

Reaktionerne på højre del af systemet beregnes først.

Lasterne, der påvirker højre side af det statiske system, ses på Figur XX, hvor værdierne kan ses i Tabel 7.1.

Her findes først den vandrette reaktion i charnieret ved hjælp af vandret ligevægt

$$\begin{aligned}\rightarrow + : 0 &= \cos(26,6) * P_1 + Charnier_{vandret} + \frac{J*2m}{2} - Vind_2 * 16m \\ Charnier_{vandret} &= -\cos(26,6) * P_1 - \frac{J*2m}{2} + Vind_2 * 16m \\ Charnier_{vandret} &= -1,707354925 * 10^5 N\end{aligned}$$

Betegnelse	Værdi	Enhed
P_1		
P_2		
q_1	31,54	$\frac{kN}{m}$
q_2	9,47	$\frac{kN}{m}$
q_3	61,34	$\frac{kN}{m}$
$Vind_1$	6,08	$\frac{kN}{m}$
$Vind_2$	-1,20	$\frac{kN}{m}$
$Jord + vind_{ind}$	$63,77x + 1,66$	$\frac{kN}{m}$

Tabel 7.1. Laster på det statiske system

Derefter findes den lodrette reaktion i punktet C ved hjælp af moment ligevægt

$$\begin{aligned} \curvearrowleft : 0 &= -\sin(26,6) * P_1 * 6m - E * 18m * 6m - d * 18m * 6m + C_y * 6m - \frac{J*2m}{2} * 17,33m \\ C_y &= \frac{1}{6m} * (\sin(26,6) * P_1 * 6m + E * 18m * 6m + d * 18m * 6m + \frac{J*2m}{2} * 17,33m) \\ C_y &= 9,147775436 * 10^5 N \end{aligned}$$

Så kan den lodrette reaktion i charnieret findes ved hjælp af lodret ligevægt

$$\begin{aligned} \uparrow + : 0 &= -\sin(26,6) * P_1 - E * 18m + C_y + CharnierLodret \\ CharnierLodret &= \sin(26,6) * P_1 + E * 18m + d * 16 - C_y \\ CharnierLodret &= -2,356174399 * 10^5 N \end{aligned}$$

Der beregnes nu på systemet til venstre da reaktionerne i charnieret er fundet, disse bliver sat som belastninger som ses på billede (blabla 4)

Der startes her med at beregne moment omkring A da der i denne ligninge kun vil være en ubekendt som er B_{lodret}

$$\begin{aligned} A \leftrightarrow + : 0 &= \\ B_y * 6m + CharnierLodret * 6m + -18m * CharnierVandret - E * 18m * 6m - d * 18m * 6m - d * 18m * 6m - d * 18m - E * 6m * \frac{6}{2} + P_2 * \cos(26,6) * 18m - Vind_2 * 18m * (\frac{16}{2}m + 2m) - \frac{J*2m}{2} * (\frac{2m}{2}) \\ B_y &= \frac{1}{6m} * (-CharnierLodret * 6m + 18m * CharnierVandret + E * 18m * 6m + d * 18m * 6m + d * 18m * 6m + d * 18m + E * 6m * \frac{6}{2} - P_2 * \cos(26,6) * 18m + Vind_2 * 18m * (8m + 2m + \frac{J*2m}{2} * \frac{2m}{2})) \end{aligned}$$

Der regnes derefter på den lodrette ligevægt for at finde A_{lodret}

$$\begin{aligned} \uparrow + : 0 &= A_y + B_y + Charnier_y - E * 18m - d * 18m - d * 18m - d * 18m - E * 6m - P_2 * \sin(26,6) \\ A_y &= -B_y - Charnier_y + E * 18m + d * 18m + d * 18m + d * 18m + E * 6m + P_2 * \sin(26,6) \end{aligned}$$

For at gøre det muligt at isolere en af de vandrette reaktioner laves der et snint i charnieret og derefter bliver der taget moment omkring charnieret. Dette gøres for at finde $B_{vandret}$.

$$\leftrightarrow + : 0 = 18m * B_x + d * 18m - d * 18m \quad B_x = \frac{d * 18m - d * 18m}{18m} = 0$$

Til sidst bruges den vandrette ligevægt til at finde $A_{vandret}$.

$$\rightarrow + : 0 = A_x + Charnier_x + B_x + \frac{J*2m}{2} + Vind_2 * 16m - P_2 * \text{Cos}(26,6)$$
$$A_x = P_2 * \text{Cos}(26,6) - Charnier_x - B_x - Vind_2 * 16m - \frac{J*2m}{2}$$

7.2 Snitkræfter

Både snitkræfter og snitkræftskurver.

7.3 Spænding

Spændingsfordeling af normalspænding og forskydningsspænding.

7.4 ...

Brudgrænsetilstand, nedbøjning mm?...

Geologi 8

For at kunne dimensionere et fundament, er det vigtigt at have en grundlæggende viden om det materiale, der arbejdes med, altså hvilken jord, samt dets egenskaber og geologien i området. I det følgende vil der derfor foretages en beskrivelse af Aalborgs geologi, samt en beskrivelse af jorden og dets styrkeparametre.

8.1 Aalborgs geologi

Bla bla...

8.2 Jord

8.2.1 Beskrivelse af jord og jordtyper

Jord er en massebetegnelse, da der findes mange forskellige typer af jordarter. Der findes to hovedgrupper af jord; rene mineraljordarter og organiske jordarter.

De rene mineraljordarter kan være sorterede eller usorterede. Mineraljordarterne kan blive sorteret ved vand- og vindaflejring, og kan blive til det, der kendes som grus, sand, silt og ler. De usorterede mineraljordarter aflejres primært ved gletsjeraflejring, og betegnes som morænejordarter kaldet till.[Thorsen, 1998]

Organiske jordarter består af organisk materiale i form af plant- eller dyrerester. Disse jordarter kendes som muld, tørv, gytje mm.[Miljøministeriet, a]

De forskellige jordtyper har forskellige egenskaber. Egenskaberne afhænger af kornstørrelserne, som angives ved kornets diameter, og herved kan de inddeltes i kornfraktioner[Ovesen et al., 2014]. For eksempel ses inddelingen af kornstørrelserne for nogle mineraljordarter på Figur 8.1 .

Sten og blokke	over	60	mm
Grusfraktion	60	- 2	mm
Sandfraktion	2	- 0.06	mm
Siltfraktion	0.06	- 0.002	mm
Ler fraktionen	under	0.002	mm

Figur 8.1. Inddeling af kornstørrelser for mineraljordarter (KILDE)

8.2.2 Jordtypernes udseende og dannelse

Grus- og sandjordarter skabes ved forvitring og erosion af materiale fra faste bjergarter. Materialet bliver herefter transporteret og aflejret via vind eller vand. Dette gør, at deres

sammensætning bestemmes af udgangsmaterialet, men i lige så høj grad af transportmåden og transporttiden. Transporttiden kan gøre, at bløde dele af materialet opløses, samt at materialet får en afrundet kornform, og dette giver en mindre friktionsvinkel. Den relative store kornstørrelse ved grus og sandjordarter gør, at de har et groft porenet, hvilket medvirker, at vandet bevæger sig let i materialet, dvs. at permeabiliteten er stor. Samtidig ved belastning af materialet sker der en vandudpresning, hvilket er en hurtig konsolidering.[Thorsen, 1998]

Grus- og sandjordarters styrkeegenskaber afhænger af friktionen mellem kornene, som afhænger af kornenes lejringstæthed, materialets enskornethed og kornenes enkelte form; om de er skarpkantet eller afrundet.[Thorsen, 1998]

Lerjordarter har alle et bestemt indhold af lermineraler. Indholdet af disse har en betydende indflydelse på lerjordartens egenskaber, også selvom de ikke udgør størstedelen af jordarten. Lermineralerne bliver til ved en kemisk forvitring af faste bjergarter. De mest betydnende grupper af lermineraler er; kaolinit, smectit, illit og chlorit. Den kemiske sammensætning af lermineralerne kan være meget forskellige og har en stor betydning for de fysiske egenskaber.[Thorsen, 1998] Alle lermineralerne kan optage vandmolekyler, hvilket gør, at lerjordarter kan indeholde meget vand. Betydningen af vandet kan fysisk ses ved tilslætning af vand til lerjordarterne, som gør at de sveller og ligeledes svinder ved tørring. Hvis lerpartiklerne er placeret med kort afstand til hinanden, vil dette give jordarten en større styrke.[Thorsen, 1998] Ved at smadre jordarten formindskes jordartens styrke, men en del af denne styrke kan jordarten genvinde efter noget tid. [Thorsen, 1998]

Morænejordarter er typisk usorterede mineraljordarter, og kan derfor bestå af flere forskellige kornstørrelser. Fordelingen af dem kan skifte inden for korte afstande. Morænejordarter har normalt gode styrke- og deformationsegenskaber, da de er forbelastede.[Thorsen, 1998]

Organiske jordarters egenskaber er afhængige af de organiske bestanddeles art. De forskellige typer af organiske jordarter bliver dannet forskellige steder. Tørv og gytje bliver for eksempel dannet i moser, sører, bugter, fjorde mm, og dets styrke er ikke høj. Dette skyldes, at disse indeholder store mængder vand, da der ikke er faste partikler og at organiske materialer forsvinder med tiden. [Thorsen, 1998]

8.2.3 Jords styrke og stivhed

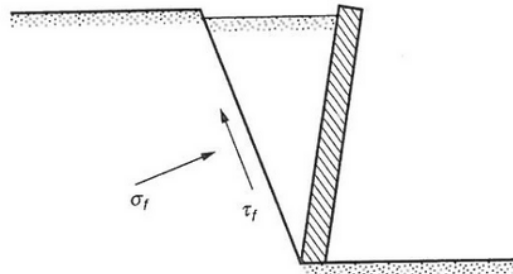
Jord betragtes, på lige fod med beton, stål osv, som et byggemateriale, da dens fysiske egenskaber er vigtige for konstruktions dimensionering.[Hansen, 1999]

Jordarterne har meget forskellige styrker, og inden for geoteknik kan jordarterne inddeltes i to forskellige typer. Den ene type er friktionsjord, for eksempel sand og grus. Den anden er kohæsionsjord med et indhold af mere end 10% lerfraktion. Friktionsjord er under stabil lejring næsten usammentrykkeligt, og hvis deformationer finder sted forskydninger eller gnidninger kornene imellem.[Hansen, 1999]

I kohæsionsjord kan kornskelettet være stabilt ved åbne strukturer, men kun ved små deformationer og belastninger, afhængig af forbelastning. Ved store belastninger er disse jordarter sammentrykkelige.

Med hensyn til jordarters styrke, benyttes begreberne træk- og trykstyrke normalvis ikke. I stedet for anvendes forskydningsstyrken. Denne anvendes da der ved brud i jorden, sker en forskydning af jordmasser. Når der sker et sådant brud, virker der normal- og

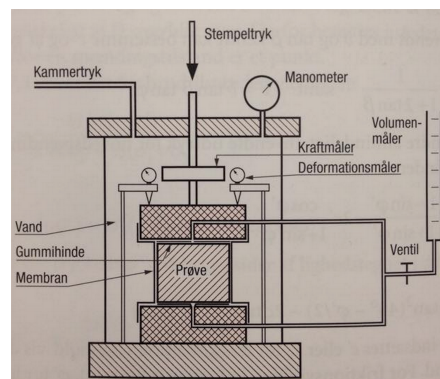
forskydningsspændinger langs brudlinjen.[Ovesen et al., 2014] Forskydningsspændingen τ_f virker som en reaktion på jordmassens bevægelse nedad, og derfor er denne rettet skråt op ad. Normalspændingen σ_f , også kaldet brudspændingen, står vinkelret på brudlinjen, og regnes positiv ved tryk [Ovesen et al., 2014]. Dette er illustreret på Figur 8.2.



Figur 8.2. BILLEDTEKST

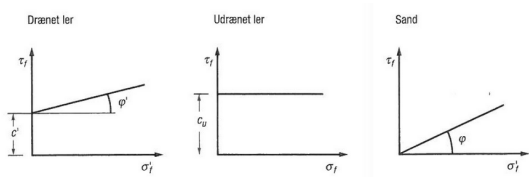
For at finde styrken i jord laves et triakselforsøg, der laves via et triaksialapparat, dette er illustreret på Figur 8.3. Forsøget er det mest anvendte for at finde jords styrke. En cylindrisk jordprøve tages, og tilpasses så den har samme diameter som højde. Prøven indsættes lodret i apparatet og indsluttet en tæt gummimembran. Trykhoveder er placeret på prøvens ender, disse er gjort næsten helt glatte vha. siliconesmurte gummihinder, det gør det muligt at holde prøvens cylindriske form indtil bruddet.

Forsøget kan deles op i to faser kaldet 1. isotrop spændingstilstand, 2. Voksende deviatorspænding. Begge faser kan gennemføres på to forskellige måder. Fase 1 hvor kammertrykket indstilles som ønsket, gennemføres konsolideret eller ukonsolideret, hvor drænventilerne er åben i den konsolideretproces og lukket i den ukonsolideret. I fase 2. påføres prøven gradvist et øget stempeltryk, hvor der til sidst sker et brud i prøven. Denne fase kan også udføres med lukket eller åben ventil, og kaldes for henholdsvis drænet og udrænet [Ovesen et al., 2014].



Figur 8.3. BILLEDTEKST

Frikitionsvinklen er et mål for jord styrke. Frikitionsvinklen er vidt forskellige alt efter jordtype, hvilket er illustreret på Figur 8.4.



Figur 8.4. Brudbetingelser for ler og sand
[Ovesen et al., 2014]

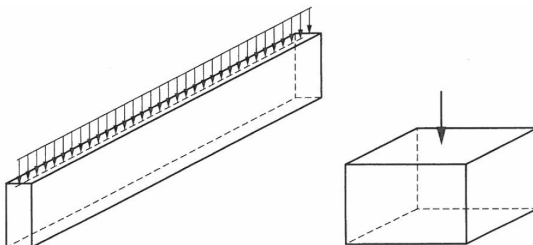
Dimensionering af fundament 9

Metatekst

9.1 Fundering

Et fundament er en del af et bygværk, hvor formålet er at overføre belastningen fra bygningen til underliggende, bærende jordlag. Der findes mange forskellige funderingsmetoder, for eksempel pælefundering og direkte fundering, og kan i nogle tilfælde kombineres. De to mest almindelige funderingsmetoder er pæle- og direkte fundering, hvilke vil blive omtalt i denne rapport.

Ved direkte fundering støbes fundamentet direkte på terrænet, hvor de bæredygtige jordlag findes relativt tæt under bygningen. Belastningen overføres fra bygningen til jorden igennem vandrette flader. Belastningen på fundamentfladen udgøres af fundamentets egenvægt og bygningens belastning. Hvis belastningen virker på en lang fundamentflade med konstant bredde, er der tale om et stribefundament, der som regel bruges ved fundering af bærende vægge. Modsætningen hertil er punktfundamenter, som er rektangulære eller kvadratiske, og disse bruges for eksempel ved fundering af master, søjler og skorstene [Ovesen et al., 2014, s. 221]. Stríbefundamentet og punktfundamentet er illustreret på Figur 9.1.



Figur 9.1. Stríbefundament og enkeltfundament [Ovesen et al., 2014, s. 221]

Hvis de bæredygtige jordlag ligger mere end 4-5 meter under bygningen, anvendes ofte pælefundering. Ved pælefundering er søjleformede pæle af træ, beton, og/eller stål, rammet, presset, vibreret eller udstøbt i jorden. Pæleformen er normalt cylindrisk med cirkulært eller kvadratisk tværsnit. Pælefundering benyttes blandt andet når de bærende jordlag ligger så dybt, at direkte fundering vil blive uøkonomisk [Ovesen et al., 2014, s. 355].

Valg af funderingsmetode for tilbygningen til Strøybergs Palæ afhænger af jordbunds- og grundvandsforhold samt de belastninger, som konstruktionen er udsat for [Ovesen et al.,

2014, s. 355]. Det er derfor nødvendigt at have kendskab til områdets geologi omkring Strøybergs Palæ, og at tolke på de boreprofiler, der bliver udført på stedet, hvilket vil gøres i forsøgene i Afsnit 8.4.

9.2 Antagelser

Idéet Aalborg er funderet på meget blødt ler, benyttes boreprofiler fra Hals/Hou, og det antages, at disse boreprofiler er fra området ved Strøybergs Palæ.

Forsøgene er udført på baskarpsand fra Sverige, hvilket antages at være sandet fra boreprofilerne.

9.3 Forsøg

For at bestemme styrkeparametre for jorden udføres laboratorieforsøg, der bruges ved dimensionering af fundamentet.

Formålet med forsøgene er at bestemme friktionsvinklen, givet ved:

$$\varphi = 30^\circ - \frac{3}{U} + (14 - \frac{4}{U})I_D$$

- U: Uensformighedstal
- I_D : Relativ lejringstæthed

Friktionsvinklen φ er et mål for jords styrke, og skønnes ud fra sigteanalyse samt løs og fast lejring. Ved hjælp af nedenstående fire forsøg bestemmes friktionsvinklen, idéet uensformighedstallet og den relative lejringstæthed bestemmes herudfra:

1. Vandindhold
2. Sigteanalyse
3. Kornvægtfylde
4. Løs og fast lejring

Tabeller over resultater, fremgangsmåde, apparaturliste samt fejlkilder for de enkelte forsøg findes i bilag A-D.

9.3.1 Forsøg 1: Vandindhold

Formålet med forsøget "vandindhold" er at finde vandindholdet w i jordprøven. Vandindholdet er defineret som jordens vægttab i % af tørvægten ved tørring i et varmeskab ved en temperatur på 105°C. For naturligt forekommende jordarter kan vandindholdet ligge mellem nul og flere hundrede procent.

Vandindholdet beregnes ved:

$$w = \frac{W_w}{W_s} \cdot 100\% = \frac{(W_{sk}) - (W_s + sk)}{(W_s + sk) - sk} \cdot 100\%$$

- W_w : Vægten af vandet i prøven [g]

- W_s : Vægten af det tørrede materiale [g]
- W: Vægten af prøven før tørring [g]
- sk: Vægten af skålen [g]

Forsøget er udført to gange. De fundne værdier for de to udførte forsøg ses i Tabel B.1 i Bilag A. Vandindholdet for de to forsøg er beregnet til:

$$\text{Forsøg 1: } w = \frac{8102g - 8099g}{8099g - 307g} \cdot 100\% = 0,04\%$$

$$\text{Forsøg 2: } w = \frac{8983g - 89,79}{89,79g - 3,11g} \cdot 100\% = 0,05\%$$

Ud fra de opnåede resultater, kan det konkluderes, at det benyttede materiale vurderes at være tørt og det meget lille vandindhold har ikke indflydelse på de øvrige resultater.

Til videre beregninger benyttes gennemsnittet for vandindholdet for forsøg 1 og forsøg 2, som er 0,04%. Dette skal bruges som et rent tal, som er 0,0004.

9.3.2 Forsøg 2: Sigteanalyse

Formålet med "sigteanalyse" er at bestemme jordkornenes vægtmæssige fordeling efter størrelse i sand- og grusfraktion, for at beregne uensformighedstallet U for jorden:

$$U = \frac{d_{60}}{d_{10}}$$

- d_{60} : 60%-fraktilen
- d_{10} : 10%-fraktilen

Uensformighedstallet fortæller, hvor velsorteret jorden er:

- Velsorteret: $U < 2$
- Sorteret: $2 < U < 3,5$
- Ringe sorteret: $3,5 < U < 7$
- Usorteret: $U > 7$

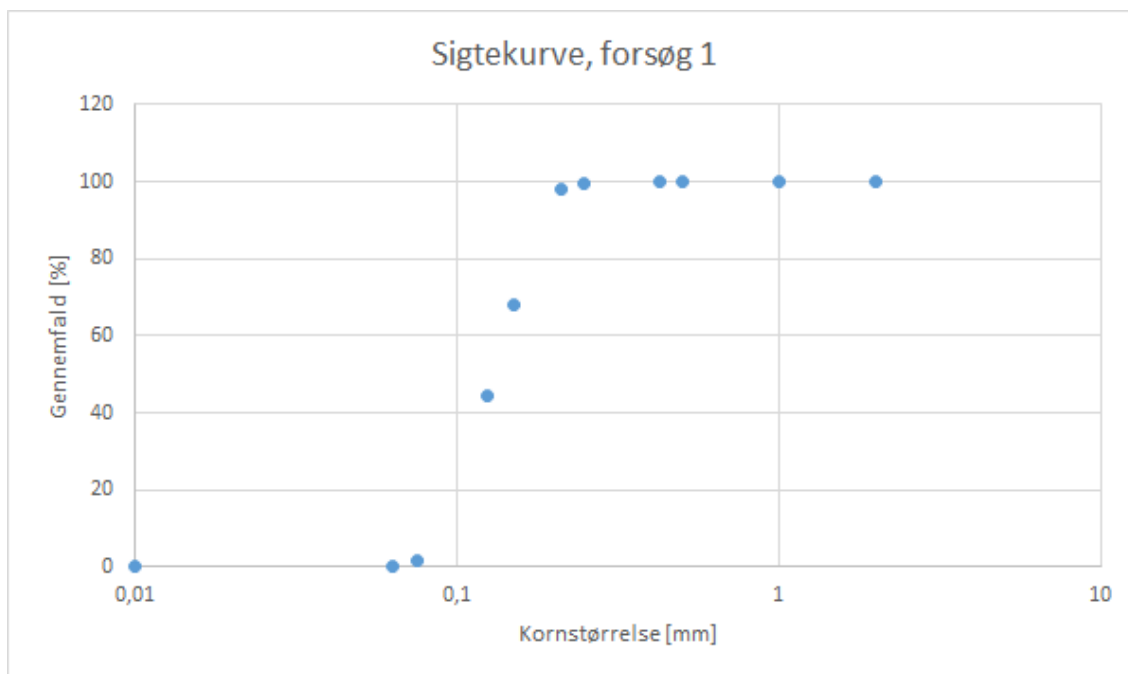
Forsøget er udført to gange, og der er derfor lavet en sigtekurve for hvert forsøg, og uensformighedstallet er udregnet for begge forsøg.

Det procentvise gennemfald i hver sigte er beregnet, og herudfra fås sigtekurverne vist på Figur 9.2 og Figur 9.3. Værdierne der er brugt til at finde det procentvise gennemfald på Figur C.1 og Figur ?? i Bilag B.

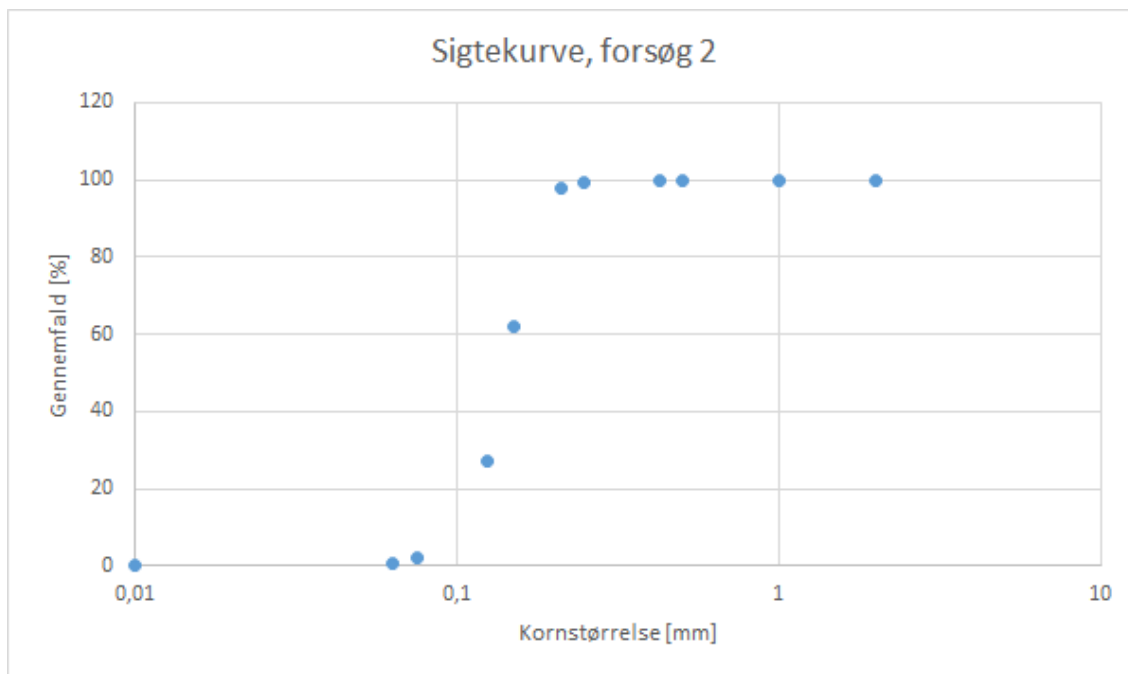
Uensformighedstallet for begge forsøg er beregnet, ved at lave lineær regression imellem henholdsvis 10% og 60% og derved finde 10%-fraktilen og 60%-fraktilen.

Ved det første udførte forsøg er 10%-fraktilen fundet ved at lave lineær regression imellem sigte med maskestørrelse 0,075 mm og 0,125 mm, hvor følgende ligning fremgår:

$$y = 862,42x - 63,223$$



Figur 9.2. Sigtekurve til forsøg 1



Figur 9.3. Sigtekurve til forsøg 2

For at finde 60%-fraktilen er der lavet lineær regression imellem sigte med maskestørrelse 0,125 mm og 0,15 mm, hvor følgende ligning fremgår:

$$d_{60} = 937,12x - 72,56 \text{ mm}$$

Ved forsøg 1 er 10%-fraktilen og 60%-fraktilen hermed beregnet til:

$$d_{10} = 0,08 \text{ og } d_{60} = 0,14 \text{ mm}$$

Uensformighedstallet i forsøg 1 er derved:

$$U = \frac{0,14}{0,08} = 1,67$$

Ved forsøg 2 er 10%-fraktilen, 60%-fraktilen og uensformighedstallet beregnet til:

$$d_{10} = 0,91 \text{ og } d_{60} = 0,15 \text{ og } U = \frac{0,15}{0,91} = 1,64$$

Uddybbende beregninger er vist i Bilag B.

Til videre beregninger benyttes gennemsnittet af uensformighedstallet for forsøg 1 og forsøg 2, som er 1,65. Dette tal fortæller, at jorden er velsorteret, idet $U < 2$. Dette stemmer godt overens med de observationer der forinden forsøget var gjort af sandet, hvor blev vurderet til at være ens- og afrundede korn.

9.3.3 Forsøg 3: Kornvægtfylde

Formålet med "kornvægtfylde" er at finde den relative densitet d_s , også kaldet kornvægtfonden, for jordprøven. For jordarter uden organisk indhold kan kornvægtfonden variere fra 2,65 for rent kvartsand til 2,85 for visse lermineraler. I dette forsøg søges altså et resultat der ligger så tæt på 2,65 som muligt.

Kornvægtfonden beregnes ved:

$$d_s = \frac{W_s \rho_w^t}{(W_s + W_2 - W_1) \rho_w^{4^\circ}}$$

- W_s : Vægten af tørt kornmateriale [g]
- ρ_w^t : Densitet af luftfrit demineraliseret vand ved målte temperatur [$\frac{g}{cm^3}$]
- W_2 : Vægten af pyknometeret fyldt med luftfrit demineraliseret vand [g]
- W_1 : Vægten af pyknometer fyldt med prøve og luftfrit demineraliseret vand [g]
- $\rho_w^{4^\circ}$: Densitet af luftfrit demineraliseret vand ved 4° , som er $1 \frac{g}{cm^3}$

Forsøget er udført to gange, og resultater for de to forsøg kan ses i Tabel D.1 Bilag C. Kornvægtfonden for de to forsøg er beregnet til:

$$\text{Forsøg 1: } d_s = \frac{161,27g \cdot 0,998 \frac{g}{cm^3}}{(161,27g + 641,16g - 728,89g) \cdot 1 \frac{g}{cm^3}} = 2,19$$

$$\text{Forsøg 2: } d_s = \frac{150,06g \cdot 0,998 \frac{g}{cm^3}}{(150,06g + 615,97g - 709,40g) \cdot 1 \frac{g}{cm^3}} = 2,64$$

Resultatet fra forsøg 2 anvendes til videre beregninger, fordi resultatet fra forsøg 1 vurderes til at være for langt fra den ønskede værdi på 2,65. Grunden til den store afvigelse kan skyldes, at der blev anvendt ca. 161 g i forhold til, at der kun skulle være anvendt 150 g.

9.3.4 Forsøg 4: Løs og fast lejring

Formålet med "løs og fast lejring" er at finde jordens relative lejringstæthed I_D . Lejrings-tætheden er et tal, som vokser fra 0 til 1, når lejringstætheden varierer fra den løseste til den fasteste lejring.

I_D bestemmes ved:

$$I_D = \frac{e_{max} - e_{insitu}}{e_{max} - e_{min}}$$

- e_{min} : jordens gennemsnitlige poretal for den fasteste lejring
- e_{max} : jordens gennemsnitlige poretal for den løseste lejring
- e_{insitu} : jordens naturlige poretal

Poretallet e , for henholdsvis den løseste og fasteste lejring beregnes ved:

$$e = \frac{d_s \rho_w V}{W_s} - 1$$

- d_s : kornvægtfylde [rent tal], som er fundet i forsøg 3: kornvægtfylde, til 2,64
- ρ_w : Vands densitet på $1 \frac{g}{cm^3}$
- V : Volumen af materialet [cm^3]
- W_s : Vægten at tørt kornmateriale [g]

Der er udført fire forsøg for henholdsvis den løseste og den fasteste lejring. Resultater samt poretallet for hvert enkelt forsøg ses i Tabel E.1 og Tabel E.2 i Bilag D. Det gennemsnitlige poretal er:

$$e_{min} = \frac{0,595 + 0,571 + 0,573 + 0,569}{4} = 0,577$$

$$e_{max} = \frac{0,873 + 0,875 + 0,874 + 0,873}{4} = 0,874$$

Heresfter bestemmes jordens naturlige poretal e_{insitu} ved:

$$e_{insitu} = (1 + w) \frac{d_s \rho_w V}{W_s} - 1$$

- w : det naturlige vandindhold [rent tal], fra forsøg 1: vandindhold, til 0,0004

Dette er beregnet til:

$$e_{insitu} = (1 + 0,0004) \cdot \frac{2,64 \cdot 1,00 \frac{g}{cm^3} \cdot 269,39 cm^3}{421,4 g} - 1 = 0,691$$

Slutteligt kan den relative lejringstæthed I_D bestemmes til:

$$I_D = \frac{0,874 - 0,691}{0,874 - 0,577} = 0,617$$

9.3.5 Friktionsvinklen

Efter udførelsen af de fire forsøg kan friktionsvinklen beregnes til:

$$\varphi = 30^\circ - \frac{3}{1,65} + (14 - \frac{4}{1,65}) \cdot 0,619 = 35,3^\circ$$

I Figur 9.4 ses det, at der kan trækkes henholdsvis 3 eller 5 grader fra friktionsvinklen eller lægges 1 eller 2 grader til friktionsvinkel, alt efter jordens type. Baskarpsandkornene er vurderet til at være afrundede, og derfor trækkes der 3 grader fra den friktionsvinkel, som er fundet ovenfor, og der fås en friktionsvinkel på $32,3^\circ$.

Friktionsvinklen sammenlignes med værdierne fra Figur 9.4. Der aflæses ud fra de 32° , hvor graderingen aflæses som værende enskornet, og lejringstætheden aflæses som værende middel. Hvilket vurderes til at passe med, at det anvendte sand blev vurderet til at være enskornet.

Gradering	Lejringstæhed		
	Løs	Middel	Fast
Enskornet	27°	32°	37°
Middel	29°	35°	41°
Uenskornet	30°	37°	44°
Tillæg for :	Fint grus : Groft grus :	1° 2°	
Fradrag for :	Afrundede korn:	3°	
	Meget runde korn:	5°	

Figur 9.4. Friktionsvinkel [Ovesen et al., 2014, s. 170]

Konklusion 10

Litteratur

- Aalborg, 2014a.** Business Aalborg. *Bedre Overblik, Temperaturmåling på erhvervslivet i Aalborg.* <http://www aalborg.dk/media/676544/BEDRE-Overblik-nr-1-2014.pdf>, 2014. Downloadet: 08.03.2015.
- Aalborg, 2014b.** Business Aalborg. *Ungdommens Aalborg.* <http://www aalborg.dk>, 2014. Downloadet: 08.03.2015.
- Aalborg.** Kulturbro Aalborg. *Formål med kulturbro-Aalborg.* <http://www.kulturbro aalborg.dk>. Downloadet: 25.02.2015.
- Aalborg Kommune, 23.11.2009.** Aalborg Kommune. *Bilag.* <http://www aalborgkommuneplan.dk>, 23.11.2009. Downloadet: 24.03.2015.
- Aalborg Kommune, 25.11.2013a.** Aalborg Kommune. *Om Kommuneplanen.* <http://www aalborgkommuneplan.dk>, 25.11.2013. Downloadet: 25.02.2015.
- Aalborg Kommune, 31.12.2006a.** Aalborg Kommune. *Planreddegørelse.* <http://www aalborgkommuneplan.dk>, 31.12.2006. Downloadet: 24.03.2015.
- Aalborg Kommune, 31.12.2006b.** Aalborg Kommune. *Kommuneplanrammer.* <http://www aalborgkommuneplan.dk>, 31.12.2006. Downloadet: 24.03.2015.
- Aalborg Kommune, 25.11.2013b.** Aalborg Kommune. *Retningslinjer.* <http://www aalborgkommuneplan.dk>, 25.11.2013. Downloadet: 24.03.2015.
- A/S, 2008.** Calum A/S. *Investeringsejendomme.* <http://www calum dk>, 2008. Downloadet: 05-03-2015.
- A/S et al., 2009.** Niras Konsulenterne A/S, Mette Glarborg Bahrenscheer, Kirstine Iversen, Peer Frank og Peter Frost-Møller. *Brug Havnen, Industrihavnens kulturarv.* ISBN: 978-87-91298-09-7, Handbook. Kulturarvsstyrelsen, 2009.
- Brandt.** Erik Brandt. *Gulvopbygning - terminologi.* <http://www gulvfakta dk/gulvbelaegninger/valg-af-gulv.aspx>. Downloadet: 05-05-2015.
- Byggeri.** Dansk Byggeri. *Hvor går grænsen?* *Tømrer/træelementer/snæder/gulv/glas-lufacader.* <http://www danskbyggeri dk>. Downloadet: 04-05-2015.
- Clement og Andersen, 2014.** Karen Clement og Thomas Nørgaard Andersen. *Rekordmange optaget på videregående uddannelser - hver fjerde får afslag.* <http://www b dk/nationalt/rekordmange-optaget-paa-videregaaende-uddannelser-hver-fjerde-faar-afslag>, 2014. Downloadet: 24-03-2015.

Dansk Center for Byhistorie. Dansk Center for Byhistorie. *Danske Købstæder: Aalborg - Historiske Befolkningsstal.* <http://byhistorie.inet-designer.dk/>. Downloadet: 07.03.2015.

Danske, 2014. Redaktionen Den Store Danske. *Aalborg historie.* [http://www.denstoredanske.dk/Danmarks_geografi_og_historie/Danmarks_geografi/Jylland/Jylland_-_byer/Aalborg/Aalborg_\(Historie\)](http://www.denstoredanske.dk/Danmarks_geografi_og_historie/Danmarks_geografi/Jylland/Jylland_-_byer/Aalborg/Aalborg_(Historie)), 2014. Downloadet: 25.03.2015.

for Byhistorie. Dansk Center for Byhistorie. *Danske Købstæder: Aalborg.* <http://byhistorie.inet-designer.dk/>. Downloadet: 07.03.2015.

for energibesparelser i bygninger, December 2014. Videncenter for energibesparelser i bygninger. *Indvendig efterisolering af massive murede vægge.* <http://www.bryggeriogenergi.dk>, December 2014. Downloadet: 04-05-2015.

Forvaltning, 1908-2015. Aalborg Kommunes Tekniske Forvaltning. *Nyhavnsgade 9-11.* Byggesagsarkiv, 1908-2015.

Frederiksen, 12-06-2008. Susie Frederiksen. *Tunge indvendige vægge.* <http://www.bolius.dk>, 12-06-2008. Downloadet: 04-05-2015.

Hansen, 1999. Bent Hansen. *Geotekniske problemer.* <http://2dgf.dk/xpdf/gt1999-2-1-6.pdf>, 1999. Downloadet: 25-04-2015.

Home, 2014. Home. *Aalborg: Studiebolig med landets billigste 'husleje'.* <http://www.home.dk>, 2014. Downloadet: 26-03-2015.

Jensen, 2013. Bjarne Chr. Jensen. *Teknisk Ståbi.* ISBN: 978-87-571-2775-1, 22. udgave. Nyt Teknisk Forlag, 2013.

Johansen og Mathiasen, 2004. Mette Johansen og Line Mathiasen. *Byomdannelse på Aalborg Østre Havn, Kampen om fremtiden.* Handbook. Aalborg Universitet, 2004.

Junker. Flemming Junker. *Rekordmange nye virksomheder i Aalborg.* <http://nordjyske.dk/artikel/rekordmange-nye-virksomheder-i-aalborg-300147e6-7380-429c-b37f-ec782b15de9a/112/1201>. Downloadet: 20-03-2015.

Kommune, 21.11.2012. Aalborg Kommune. *Alternativ rutenet i forbindelse med letbanen 1. etape.* <http://www aalborgletbane.dk>, 21.11.2012. Downloadet: 26-03-2015.

Kommune, 25.11.2013a. Aalborg Kommune. *Byerne - et godt sted at bo hele livet.* <http://www.aalborgkommuneplan.dk>, 25.11.2013. Downloadet: 24.03.2015.

Kommune, a. Aalborg Kommune. *Eternittens omdannelse.* <http://www.aalborg.dk>. Downloadet: 25.02.2015.

Kommune, August 2006. Aalborg Kommune. *Lokalplan 10-082.* <http://www.aalborgkommune.dk>, August 2006. Downloadet: 27.02.2015.

Kommune, b. *Aalborg Kommune.*

- Kommune, 25.11.2013b.** Aalborg Kommune. *Aalborg - den attraktive storby.*
<http://www aalborgkommuneplan.dk>, 25.11.2013. Downloadet: 25.02.2015.
- Kommune, 25.11.2013c.** Aalborg Kommune. *Det åbne land.*
<http://www aalborgkommuneplan.dk>, 25.11.2013. Downloadet: 24.03.2015.
- Kommune, Oktober 2012.** Aalborg Kommune. *Lokalplan 1-1-107.*
<http://www aalborgkommune.dk>, Oktober 2012. Downloadet: 25.02.2015.
- Kommune, 25.11.2013d.** Aalborg Kommune. *Nødvendige forbindelser - mobilitet.*
<http://www aalborgkommuneplan.dk>, 25.11.2013. Downloadet: 24.03.2015.
- Kommune, 25.11.2013e.** Aalborg Kommune. *Bæredygtighedprofil.*
<http://www aalborgkommuneplan.dk>, 25.11.2013. Downloadet: 24.03.2015.
- Kommune, c.** Vesthimmerlands Kommune. *Kommuneplantillæg.*
<http://www.vesthimmerland.odeum.com>. Downloadet: 25.02.2015.
- Kulturstyrelsen, a.** Kulturstyrelsen. *Hvad er bevaringsværdi?*
<http://www.kulturarv.dk>. Downloadet: 27.02.2015.
- Kulturstyrelsen, b.** Kulturstyrelsen. *Bygning: Gammel Havn 1.*
<http://www.kulturarv.dk>. Downloadet: 24-04-2015.
- Kulturstyrelsen, c.** Kulturstyrelsen. *Bygning: Nyhavnsgade 9.*
<http://www.kulturarv.dk>. Downloadet: 24-04-2015.
- Landsforening, 05.05.2014.** Kommunernes Landsforening. *Aalborg ønsker bedre image.*
<http://www.kl.dk>, 05.05.2014. Downloadet: 26-03-2015.
- Miljøministeriet, a.** Miljøministeriet. *Jordartsbestemmelse.*
<http://www2.mst.dk/common/Udgivramme/Frame.asp?http://www2.mst.dk/udgiv/publikationer/2001/87-7944-818-6/html/kap02.htm>.
Downloadet: 01-05-2015.
- Miljøministeriet, b.** Miljøministeriet. *Kortlægning og områdeklassificering.*
<http://www.mst.dk>. Downloadet: 27.02.2015.
- Ovesen et al., 2014.** Niels Krebs Ovesen, Leif D. Fuglsang, Gunnar Bagge og Anette Krogsbøll. *Lærebog i Geoteknik.* ISBN: 978-87-502-1042-9, 2. udgave, 2. oplag.
Polyteknisk Forlag, 2014.
- Rockwool.** Rockwool. *BD-60 Flexibatts.* <http://www.rockwool.dk>. Downloadet: 04-05-2015.
- Schouenborg, 08.09.2014.** Jesper Schouenborg. *Byråd vil have sporvogne i Aalborg.*
<http://www.nordjyske.dk>, 08.09.2014. Downloadet: 26-03-2015.
- Spærfabrik, 01-07-2013.** Ringsted Spærfabrik. *Konstruktioner.*
<http://www.ringstedsphaer.dk>, 01-07-2013. Downloadet: 04-05-2015.

Standard, 2014. Dansk Standard. *Forkortet udgave af Eurocode 1 - Last på bærende konstruktioner.* ISBN: 978-87-7310-882-6, 2. udgave, 1. oplag. Fonden Dansk Standard, 2014.

Statistik. Danmarks Statistik. *Danmarks Statistik befolknings tal Aalborg 2008-2015.* <http://www.statistikbanken.dk/statbank5a/selectvarval/saveselections.asp>. Downloadet: 20-03-2015.

Teknologisk institut. Murværk for kalk-og teglværksforeningen Teknologisk institut. *Densitet.* <http://www.mur-tag.dk/index.php?id=368>. Downloadet: 7-05-2015.

Thorsen, 1998. Grete Thorsen. *Danske jordarter og deres egenskaber.* PDF, 1998.

Træteknik. Teknologisk Institut Træteknik. *Skovfyre.* <http://www.trae.dk>. Downloadet: 04-05-2015.

Universitet. Aalborg Universitet. *Campus Aalborg.* <http://www.sict.aau.dk>. Downloadet: 25.02.2015.

Universitet, 2013. Aalborg Universitet. *Fakta 2013.* <http://www.aau.dk>, 2013. Downloadet: 26-03-2015.

Vejdirektoratet, 2011. Vejdirektoratet. *3. Limfjordsforbindelse.* <http://www.vejdirektoratet.dk/DA/vejprojekter/limfjorden/Documents/H%C3%8B8ringsnotat%203.%20Limfjordsforbindelse.pdf>, 2011. Downloadet: 24-03-2015.

VisitAalborg, a. VisitAalborg. *Jomfru Ane Parken.* <http://www.visitaalborg.dk>. Downloadet: 25.02.2015.

VisitAalborg, b. VisitAalborg. *Karolinelund.* <http://www.visitaalborg.dk>. Downloadet: 25.02.2015.

VisitAalborg, c. VisitAalborg. *Musikkens Hus.* <http://www.visitaalborg.dk>. Downloadet: 25.02.2015.

Øhrstrøm og Washuus, 2014. Daniel Øhrstrøm og Dorte Washuus. *Smukke Studieboliger er en succes.* Kristeligt dagblad, page 1, 2014.

Beregning af q_p A

Nedenfor gives et beregningseksempel for beregning af q_p for taget med vindretning fra vest. Fremgangsmåden for vindretningerne øst og nord er identisk med nedenstående eksempel, blot med andre værdier fra de samme kilder som anvendes i eksemplet, da vindretning og højden ændres.

Den maksimale belastning fra vinden, peakhastighedstrykket q_p , bestemmes ved:

$$q_p(z_e) = [1 + 7I_v(z_e)] \frac{1}{2} \rho v_m^2(z_e)$$

- I_v : vindturbulens
- ρ : densiteten for luft ved 20° , $1,25 \frac{\text{kg}}{\text{m}^3}$
- v_m : middelvindhastigheden

For at bestemme peakhastigheden, beregnes først vindturbulens $I_v(z)$ samt middelvindhastigheden v_m .

Vindturbulens, $I_v(z)$, bestemmes ved:

$$I_v(z) = \frac{\sigma_v}{V_m(z)} = \frac{k_1}{c_0(z) \cdot \ln(\frac{z}{z_0})}$$

- k_1 : turbulensfaktor, sættes til 1,0 [Standard, 2014, kapitel 4.4]
- $c_0(z)$: orografifaktoren, som sættes til 1,0 [Standard, 2014, kapitel 4.3.1]
- z : højden, som med taget er 19 m
- z_0 : ruhedslængde, som sættes til 1,0 for terrænkategori IV [Standard, 2014, tabel 4.1 kapitel 4.3.2]

Vindturbulensen bestemmes til:

$$I_v(z) = \frac{1,0}{1,0 \cdot \ln(\frac{19}{1,0})} = 0,340$$

Middelvindhastigheden, v_m , bestemmes ved:

$$v_m(z) = c_r(z) c_0(z) v_b$$

- $c_r(z)$: ruhedsfaktor
- v_b : basisvindhastigheden

Til at bestemme middelvindhastigheden, beregnes basisvindhastigheden samt ruhedsfaktoren.

Basisvindhastigheden, v_b , bestemmes ved:

$$v_b = c_{dir} c_{season} v_{b,0}$$

- c_{dir} : retningsfaktor, som sættes til 1,0 ved vind fra vest [Standard, 2014, tabel 1a kapitel 4.2]
- c_{season} : årstidsfaktor, som sættes til 1,0 [Standard, 2014, tabel 1b kapitel 4.2]
- $v_{b,0}$: grundværdi for basisvindhastigheden, som sættes til $24 \frac{m}{s}$ [Standard, 2014, kapitel 4.2]

Basisvindhastigheden bestemmes til:

$$v_b = 1,0 \cdot 1,0 \cdot 24 \frac{m}{s} = 24 \frac{m}{s}$$

Ruhedsfaktor, $c_r(z)$, bestemmes ved:

$$c_r(z) = k_r \ln\left(\frac{z}{z_0}\right)$$

- k_r : terrænfaktor

Terrænfaktoren, k_r , bestemmes ved:

$$k_r = 0,19 \cdot \left(\frac{z_0}{z_{0,II}}\right)^{0,07}$$

- $z_{0,II}$: værdi for ruhedslængde for terrænkategori II, som sættes til 0,05 [Standard, 2014, kapitel 4.3.2]

$$k_r = 0,19 \cdot \left(\frac{1,0}{0,05}\right)^{0,07} = 0,234$$

Ruhedsfaktor bestemmes til:

$$c_r(z) = 0,234 \cdot \ln\left(\frac{1,0}{1,0}\right) = 0,690$$

Middelvindhastigheden bestemmes til:

$$v_m(z) = 0,690 \cdot 1,0 \cdot 24 \frac{m}{s} = 16,569 \frac{m}{s}$$

Peakhastighedstrykket q_p i højden z , bestemmes til:

$$q_p(z_e) = [1 + 7 \cdot 0,340] \cdot \frac{1}{2} \cdot 1,25 \frac{kg}{m^3} \cdot (16,569 \frac{m}{s})^2 = 0,579 \frac{kN}{m^2}$$

Forsøg: Vandindhold

B

Apparaturliste

- Vægt med vejenøjagtighed 0,01 g
- Skål i varme- og korrosionsbestandigt materiale
- Tørreskab med temperatur til 105°C

Fremgangsmåde

Først findes en ren og tør foliebakke som vejes, og vægten noteres som sk . Efterfølgende udtages en passende mængde jord, jf. ovenstående tabel. Dette anbringes i foliebakken, og det hele vejes omgående sammen, og noteres som $W+sk$.

Foliebakken anbringes nu i tørreskabet ved 105°C, og tørres fra fredag til mandag (normalt tørres det i 24 timer, da konstant vægt normalt er opnået efter dette tidsrum, hvilket også gøres her). Efter tørringen sættes foliebakken til afkøling i vacuumekssikator til rumtemperatur er opnået. Den afkølede foliebakke med den nu tørre jordprøve vejes $W_s + sk$.

Resultater

Fejlkilder

Forskelligheden i de to prøveforsøg kan skyldes brugen af to forskellige vægte med forskellige størrelse usikkerheder. Andre fejlkilder er, at størrelserne på prøverne er forskellige, vægten $W + sk$ har en difference på 8,81 g, samt der ikke er taget højde for tabel 1, så mængden af prøvemateriale sker ud fra anbefaling.

Prøve nr.	1	2
$W+sk$ [g]	81,02	89,83
W_s+sk [g]	80,99	89,79
sk [g]	3,07	3,11
$W_w = (W + sk) - (W_s + sk)$ [g]	0,03	0,04
$W_s = (W_s + sk) - sk$ [g]	77,92	86,68
w [%]	0,04%	0,05%

Tabel B.1. Resultater for vandindhold

Forsøg: Sigteanalyse

C

Apparaturliste

- Sigter med mindst maskevidde på 0,063 mm
- Rystemaskine
- Vægt med vejenøjagtighed på 0,01 g
- Sigtebørste
- Skåle i korrosion bestandigt materiale

Fremgangsmåde

Ved en sigteanalyse kan der både udføres en grovsigtning og en finsigtning. Grovsigtningen udføres, hvis materialet vurderes til at have partikler over 16 mm. I dette forsøg er der kun udført en finsigtning, da partiklerne vurderes til at være mindre end 16 mm. Sigtningen er udført på sigter fra 0,063 mm til 2 mm (sigtemålene kan ses i tabellen over resultaterne).

Først rengøres hver enkelt sigte forsigtigt med en sigtebørste, og herefter samles sigterne fra den største maskevidde øverst til bunden nederst. Det afmalte materiale hældes på sigten med den største maskevidde på 2 mm, hvorefter sigtetårnet placeres i rystemaskinen, og sigtes i 20 minutter.

Sigteresterne i hver enkelt sigte overføres til skåle og vejes. Hver sigte placeres med bunnen opad på et stort stykke papir, og der fejes let på bagsiden, således at materialet, der sidder fast i maskerne, løsnes.

Alle resultaterne skrives ind i nedenstående skema, hvorefter det procentvise gennemfald i hver sigte beregnes ved $gennemfald[\%] = \frac{gennemfald[g]}{samletprve[g]} \cdot 100[\%]$. Herefter optegnes en sigtekurve over resultaterne med det procentvise gennemfald af y-aksen i aritmisk skala, og kornstørrelse af x-aksen i logaritmisk skala. Herpå aflæses de to punkter der ligger mellem henholdsvis 10% og 60%, og der laves lineær regression imellem de to punkter. Herudfra kan 10%-fraktilen, d_{10} , og 60%-fraktilen, d_{60} , beregnes. Disse bruges til at udregne uensformighedstallet $U = \frac{d_{60}}{d_{10}}$

Resultater

Forsøget er udført to gange. I Figur C.1 og Figur C.2 ses en oversigt over de resultater der er opnået i hvert forsøg.

Beregninger

Forsøg 2

60%-fraktilen og 10%-fraktilen beregnet, ved at lave lineær regression imellem sigte med maskestørrelse 0,125 mm og 0,15 mm, der ligger mellem henholdsvis 60% og 10% i sigtekurven.

Nedenstående ligning fås ved 10%-fraktilen:

Sigte [mm]	Maks last [g]	Skål + sigterest [g]	Skål [g]	Sigterest [g]	Gennemfald [g]	Gennemfald [%]
2	200	3,06	3,06	0	79,52	100
1	100	3,09	3,09	0	79,52	100
0,5	70	3,13	3,12	0,01	79,51	99,99
0,425		3,13	3,09	0,04	79,47	99,94
0,25	50	3,36	3,08	0,28	79,19	99,58
0,212		4,15	3,09	1,06	78,13	98,25
0,15		27,12	3,07	24,05	54,08	68,01
0,125	35	21,73	3,10	18,63	35,45	44,58
0,075		37,39	3,10	34,29	1,16	1,46
0,063	25	4,11	3,10	1,01	0,15	0,19
Bund		3,20	3,05	0,15	0	0
			Sumkontrol:	79,52		

Figur C.1. Tabel over resultater for det første udførte forsøg

Sigte [mm]	Maks last [g]	Skål + sigterest [g]	Skål [g]	Sigterest [g]	Gennemfald [g]	Gennemfald [%]
2	200	3,09	3,09	0	79,99	100
1	100	3,13	3,13	0	79,99	100
0,5	70	3,13	3,11	0,02	79,97	99,97
0,425		3,10	3,07	0,03	79,94	99,94
0,25	50	3,50	3,13	0,37	79,57	99,47
0,212		4,40	3,15	1,25	78,32	99,91
0,15		31,91	3,12	28,79	49,53	61,92
0,125	35	30,88	3,07	27,81	21,72	27,15
0,075		23,21	3,12	20,09	1,63	2,04
0,063	25	4,22	3,04	1,18	0,45	0,56
Bund		3,53	3,08	0,45	0	0
			Sumkontrol:	79,99		

Figur C.2. Tabel over resultater for det andet udførte forsøg

$$y = 502,31x - 35,635 \rightarrow d_{10} = 0,091$$

Nedenstående ligning fås ved 60%-fraktilen:

$$y = 1390,7x - 146,68 \rightarrow d_{60} = 0,15$$

Uensformighedstallet beregnes til:

$$U = \frac{d_{60}}{d_{10}} = \frac{0,15}{0,091} = 1,64$$

Fejlkilder

Sigteresterne kan ikke være børstet helt ud af maskerne, og alt materialet bliver dermed ikke vejet med. Derudover er det muligt, at sigterne ikke er blevet rengjort nok inden forsøgsstart, og der kan dermed sidde materiale fra anden prøve i maskerne, der bliver vejet med.

Ligeledes kan noget materiale kan være gået tabt under processen, idet partiklerne er meget små.

Forsøg: Kornvægtfylde

D

Apparaturliste

- Pyknometer
- Bægerglas
- Termometer med nøjagtighed $0,1^{\circ}\text{C}$
- Vægt med vejenøjagtighed på $0,001\text{ g}$
- Tørreskab, temperatur til 105°C

Fremgangsmåde

Dette forsøg laves med friktionsjord (tør metode). Der udtages en prøve af 150 g tørstof, og dette placeres i et 500 ml pyknometer. Pyknometeret fyldes ca. halvt op med luftfrit demineraliseret vand, og der drejes på pyknometeret for at undgå luftbobler. Derefter hældes der vand i, indtil vandet flyder over, når proppen sættes i. Proppen sættes i, og der sørges igen for, at der ikke er luftbobler til stede. Pyknometeret med materiale, vand og prop vejes og kaldes W_1 , og beregnes altså ved $W_1 = W_{pyk} + W_s + W_{vand}$. Herefter måles temperaturen i pyknometeret, og temperaturen noteres. Dernæst aflæses W_2 i et kalibreringsskema og noteres p_w^t .

Resultater

Fejlkilder

En fejlkilde ved dette forsøg er luftbobler i pyknometeret. Derudover var det en del af forsøget at benytte en vacuumekssikator, men grundet manglende tid blev dette trin sprunget over. En anden fejlkilde er, at der kan være forskellige temperaturer i pyknometeret, og udover disse fejlkilder er der også måleusikkerheder, som eksempelvis når der tørstof og pyknometer skulle vejes eller temperaturen skulle måles. Ved forsøg 1 blev der vejet forkert og dette antages at være årsagen til det misvisende resultat.

	Forsøg 1	Forsøg 2
Pyknometer nr.	103	100
$W_1 \text{ [g]}$	728,89	709,40
Temperatur $^{\circ}\text{C}$	22	23
$W_2 \text{ [g]}$	641,164	615,967
$W_s \text{ [g]}$	161,27	150,06
$\rho_w^t \left[\frac{\text{g}}{\text{mL}} \right]$	0,998	0,998
$d_s \left[\frac{\text{g}}{\text{m}^3} \right]$	2,188	2,644

Tabel D.1. Resultater for kornvægtfylde

Forsøg: Løs og fast lejring

E

Formål

Formålet med dette forsøg er, at bestemme hvor meget materiale der er tilbageholdt, som bruges til at finde lejringstætheden og poretallet af materialet.

Apperaturliste

- Lille cylinder
- Tragt
- Stållineal
- Stamper passende til valgte cylinder
- Specialskydelære passende til valgte cylinder
- Vægt med vejenøjagtighed 0,01 g
- Sigte med maskevidde på 5 mm

Fremgangsmåde

Løs lejring

En delprøve af jordprøven er taget fra til forsøgene. Cylinderen placeres i bakken, og sigten anbringes i cylinderen. Materialet hældes forsigtigt op i sigten. Det skal glide ned ad kanten på sigten og videre i cylinderen. Der bruges tilstrækkeligt materiale til at cylinderen kan fyldes helt op. Sigten hæves nu forsigtigt op ad cylinderen. Det skal gøres over ca. et minut i en jævn og flydende bevægelse. Når alt materialet er hældt i cylinderen fjernes toppen med en stållineal således at materialet flugter med cylinderens overflade. Ved siden af cylinderen slåes der hårdt to gange i bordet, så materialet sætter sig. Materialet der eventuelt befinner sig på ydersiden af cylinderen børstes væk. Herefter vejes cylinderen og materialet, *Cyl + Ws*. Cylinderen tømmes for materiale, børstes og vejes *Cyl*. Dette gentages 3-4 gange.

Fast lejring

Samme delprøve fra løs lejring bruges til fast lejring. Til fast lejring fyldes cylinderen op fordelt over fem gange. Mellem hver fyldning bliver materialet jævnet ud med en stållineal, og derefter stampes der. Antallet af slag stiger for hvert lag, der kommes i. Stamperen holdes lodret i cylinderen. Falddoddet føres op til stopklodsen for at slippes og foretage frit fald. For hvert 10. slag tages stamperen op, og børstes ren, for at sikre, at der ikke fastklemmes materiae mellem stamperen og cylinderens væg. Stamperens fod børstes for materiale som eventuelt skulle være presset mod. Inden det sidste lag stampes, skal der være ca. 5,0 mm fra materialet og til toppen af cylinderen. Efter sidste stampning fjernes det materiale, der eventuelt sidder fast på stamperen, og skydelæren sættes på kanten af cylinderen. Højden ned til materialet måles. Materialet, der eventuelt er på ydersiden af

cylinderen, børstes væk, og cylinderen med materialet vejes og noteres $Cyl + W_s$. Materialet fjernes og cylinderen børstes og vejes Cyl .

Resultater for løs lejring

Resultater for fast lejring

Fejkilder

I forsøg nr. 2 for fast lejring blev der fyldt for meget materiale i cylinderen. Derfor er der taget noget ud efter de 80 slag, og herefter er der givet 10 ekstra slag, hvilket kan give anledning til et varierende resultat. Det ses også, at resultat W_s varierer lidt i forhold til de resterende forsøg.

Ved fast lejring forsøg 2 og 3 blev stampen ikke rengjort mellem hvert 10. slag. Dette kan have mindsket effekten af slagene, da kornene i cylinderen kan have givet friktion.

Prøve nr.	1	2	3	4
Areal [cm^2]	10,0	10,0	10,0	10,0
Højde [cm]	7,0	7,0	7,0	7,0
Volume [cm^3]	70	70	70	70
Cyl + W_s [g]	340,45	340,46	340,50	337,52
Cyl [g]	241,99	241,99	241,99	241,99
W_s [g]	98,55	98,47	98,51	98,57
e_{max}	0,873	0,875	0,874	0,873

Tabel E.1. Resultater for løs lejring

Prøve nr.	1	2	3	4
Areal [cm^2]	10,0	10,0	10,0	10,0
Højde [cm]	6,500	6,575	6,420	6,355
Volume [cm^3]	65,00	65,75	64,20	63,55
Cyl + W_s [g]	349,48	349,31	346,55	345,75
Cyl [g]	241,99	238,95	238,95	238,95
W_s [g]	107,49	110,36	107,60	106,80
e_{min}	0,595	0,571	0,573	0,569

Tabel E.2. Resultater for fast lejring